

Химические методы получения наноструктур

<https://elch.chem.msu.ru/rus/prgmfti.htm>

19.10.2009

Электроосаждение и химическое осаждение металлов,
неорганических полупроводников и полимеров на подложки из растворов.

Темплатируемое осаждение упорядоченных ансамблей
наноразмерных объектов.

Кулонометрический мониторинг.

«Химическое» (бестоковое) осаждение – electroless deposition

ЭЛЕКТРОХИМИЧЕСКИЙ РЯД НАПРЯЖЕНИЙ МЕТАЛЛОВ

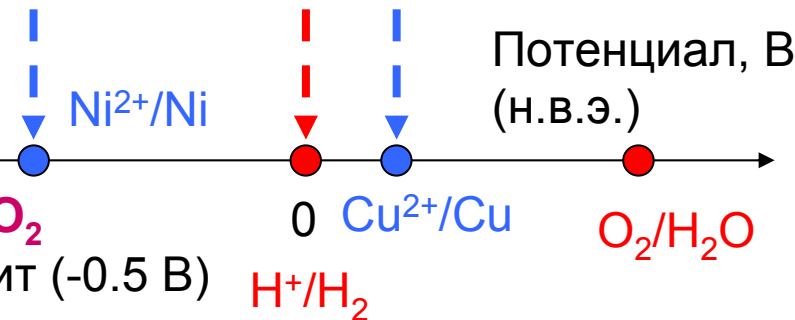
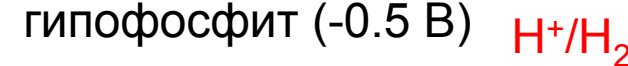
Li	Cs	K	Ba	Ca	Na	Mg	Al	Zn	Fe	Co	Ni	Sn	Pb	H ₂	Cu	Ag	Hg	Pt	Au
Li^+	Cs^+	K^+	Ba^{2+}	Ca^{2+}	Na^+	Mg^{2+}	Al^{3+}	Zn^{2+}	Fe^{2+}	Co^{2+}	Ni^{2+}	Sn^{2+}	Pb^{2+}	2H^-	Cu^{2+}	Ag^+	Hg^{2+}	Pt^{4+}	Au^{3+}
-3.04	-3.01	-2.92	-2.90	-2.87	-2.71	-2.36	-1.65	-0.76	-0.44	-0.28	-0.25	-0.14	-0.13	0	+0.34	+0.80	+0.85	+1.28	+1.50

Восстановительная активность металлов (свойство отдавать электроны) уменьшается, а окислительная способность их катионов (свойство присоединять электроны) увеличивается в указанном ряду следя направо.

Восстановители: боргидрид (-1.25 В)
 $\text{HBO}_3/\text{HBH}_4$



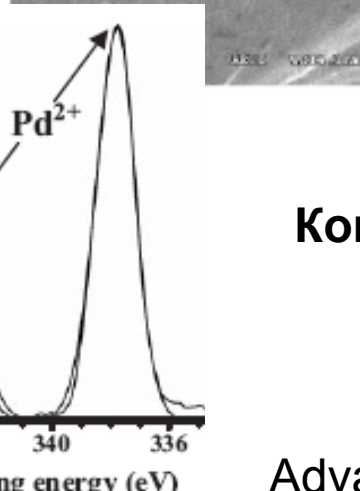
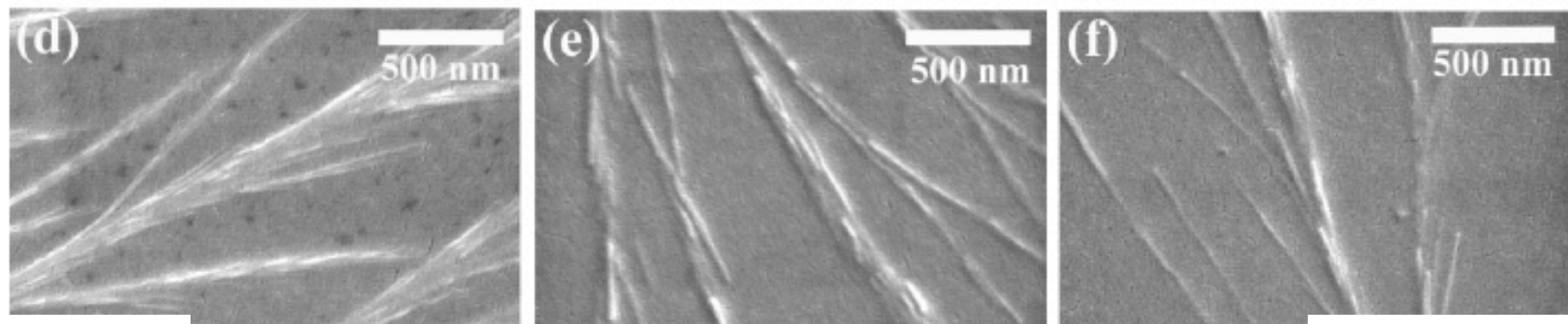
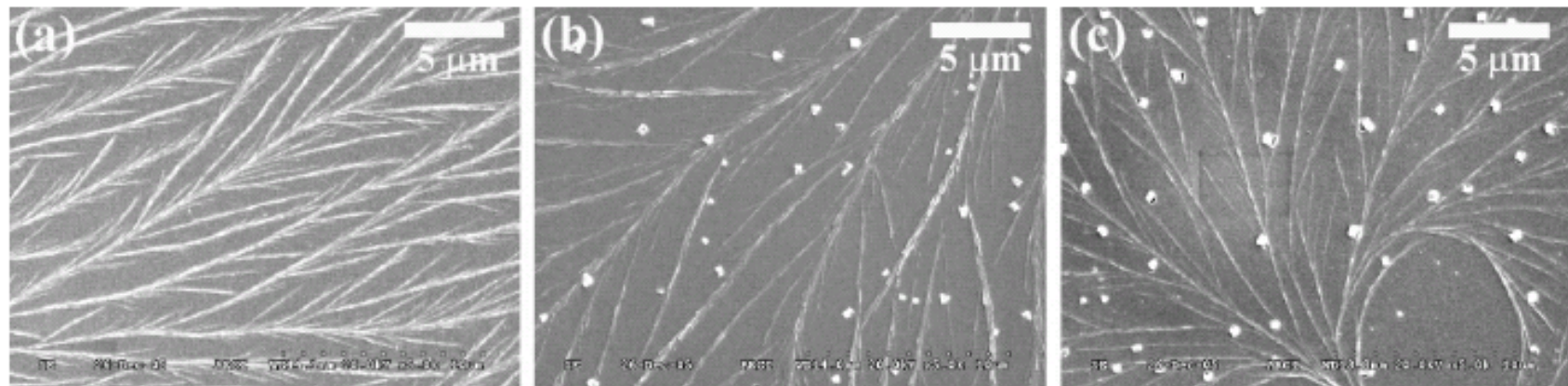
гипофосфит (-0.5 В)



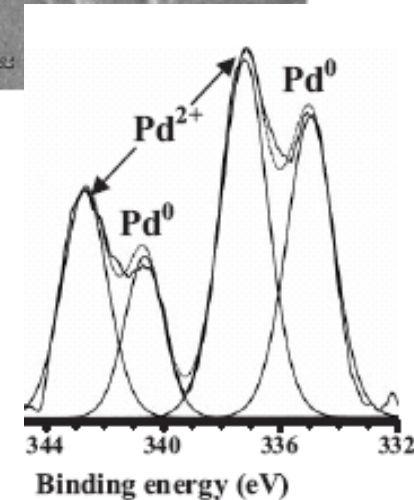
Управление: температура, природа восстановителя, концентрации

Проблемы: не единственный твердый продукт; низкая контролируемость

Химическое осаждение – восстановление полимерной матрицей



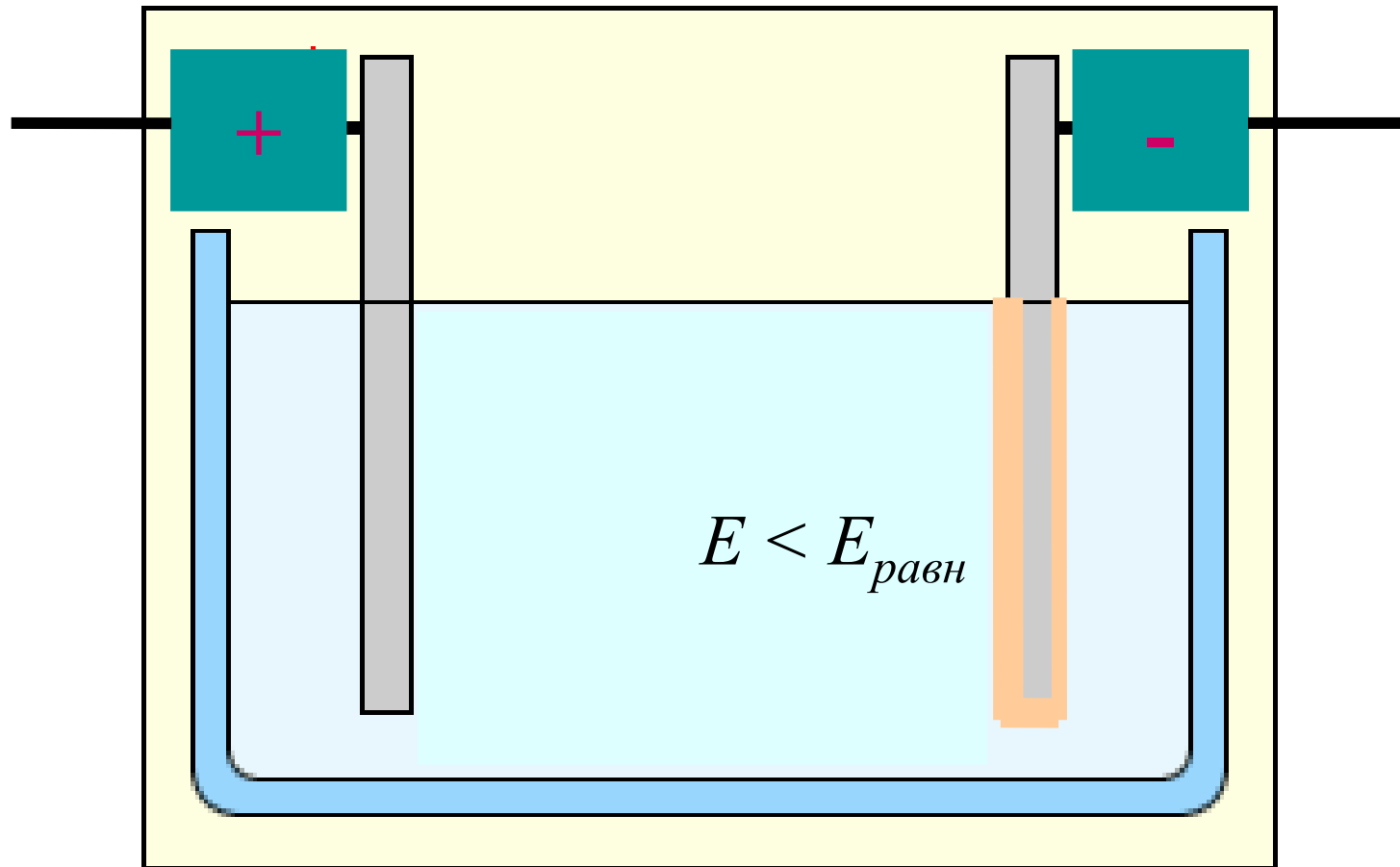
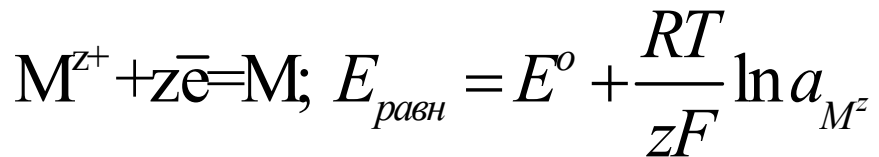
Контроль: рентгеновская фотоэлектронная спектроскопия (XPS)



Фарадей: законы электролиза, 1833-1834

$$Q = n \cdot F \cdot M \quad (F = 96485.309 \pm 0.029 \text{ Кл/г-экв})$$

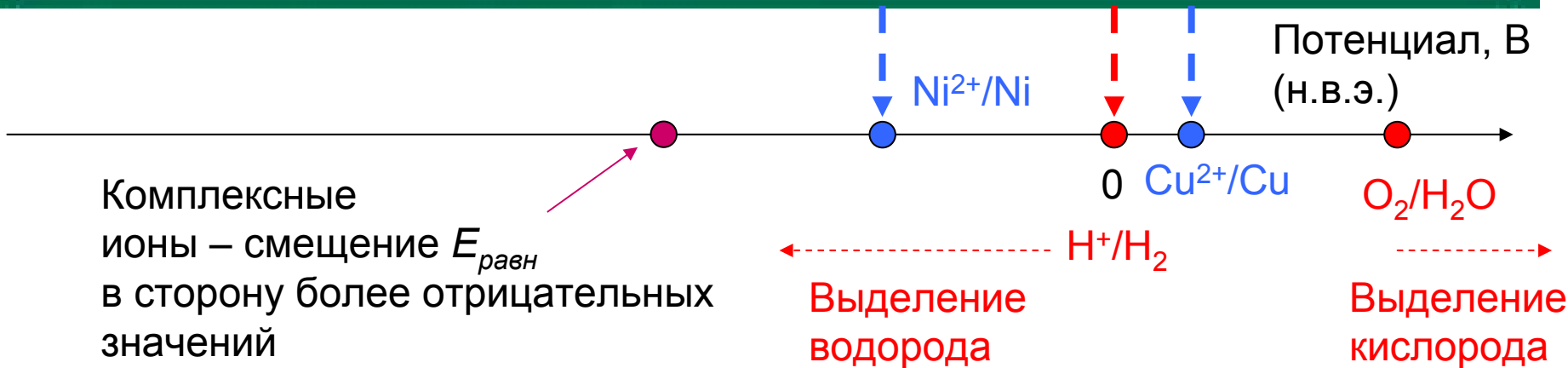
Нернст: зависимость равновесного потенциала от состава раствора, 1889



ЭЛЕКТРОХИМИЧЕСКИЙ РЯД НАПРЯЖЕНИЙ МЕТАЛЛОВ

Li	Cs	K	Ba	Ca	Na	Mg	Al	Zn	Fe	Co	Ni	Sn	Pb	H ₂	Cu	Ag	Hg	Pt	Au
-3,04	-3,01	-2,92	-2,90	-2,87	-2,71	-2,36	-1,66	-0,76	-0,44	-0,28	-0,25	-0,14	-0,13	0	+0,34	+0,80	+0,85	+1,28	+1,50
Li ⁺	Cs ⁺	K ⁺	Ba ²⁺	Ca ²⁺	Na ⁺	Mg ²⁺	Al ³⁺	Zn ²⁺	Fe ²⁺	Co ²⁺	Ni ²⁺	Sn ²⁺	Pb ²⁺	2H	Cu ²⁺	Ag ⁺	Hg ²⁺	Pt ⁺	Au ³⁺

Восстановительная активность металлов (свойство отдавать электроны) уменьшается, а окислительная способность их катионов (свойство приобретать электроны) увеличивается в указанном ряду слева направо.

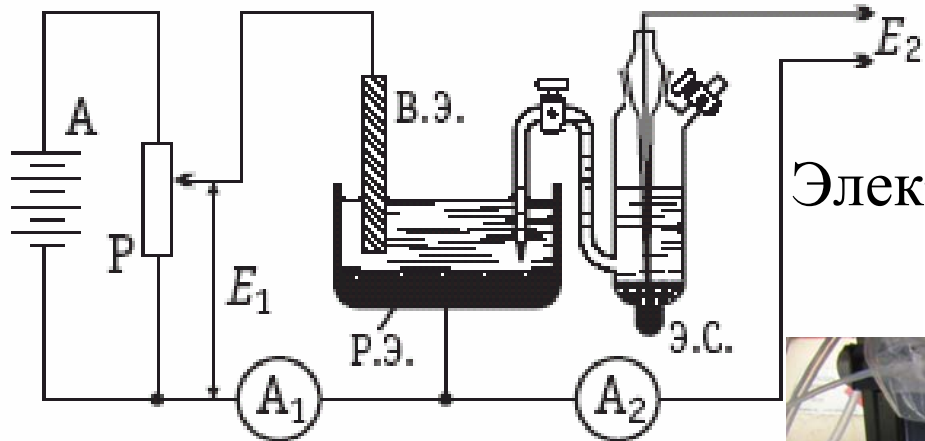


1. Электролиты на основе простых солей.
2. Электролиты на основе комплексных соединений.
3. Электролиты с блескообразующими добавками.

Электролиты на основе неводных растворителей и низкотемпературных расплавов

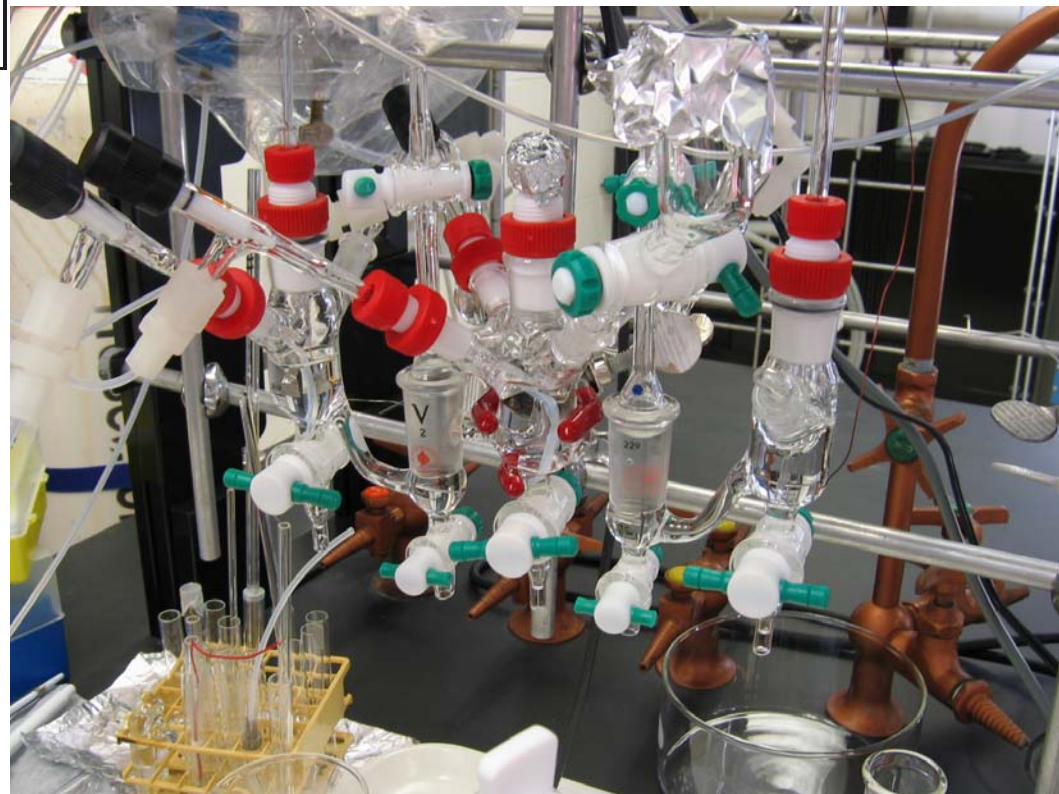
Трехэлектродная электрохимическая ячейка

Вспомогательный электрод (Counter, CE, or Auxiliary, AE)



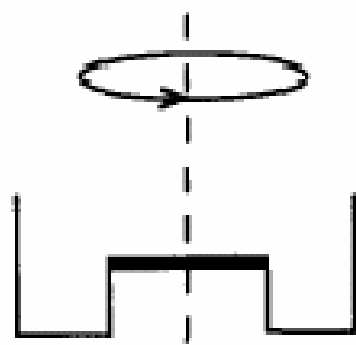
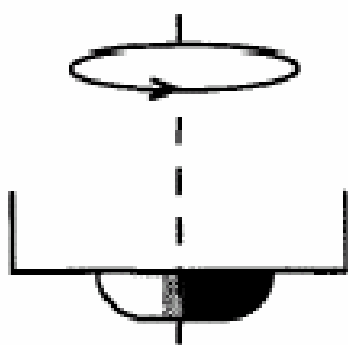
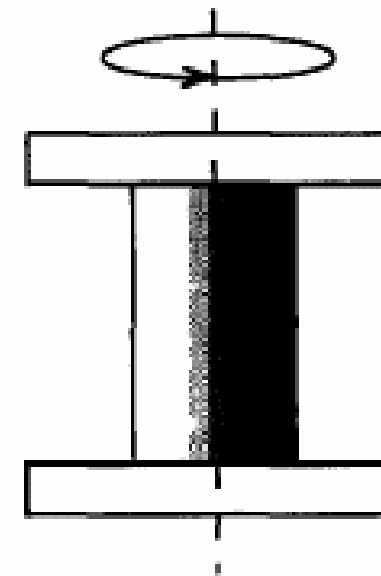
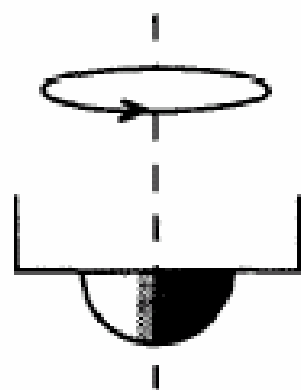
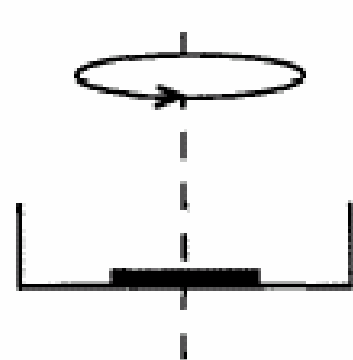
Рабочий электрод
(Working, WE)

Электрод сравнения (Reference, RE)



$$U = E(\text{WE}) - E(\text{CE}) - IR$$

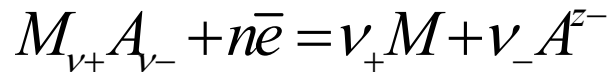
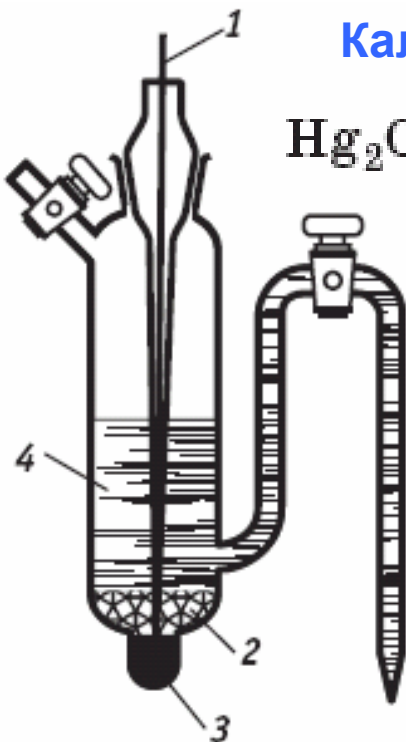
Конфигурации рабочих электродов для равномерного осаждения



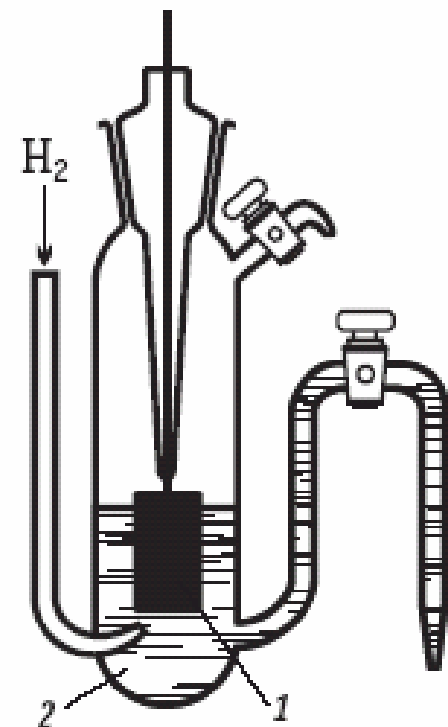
Альтернатива –

- симметричный вспомогательный электрод большей площади

Электроды сравнения



$$E = E^\circ - \frac{RT}{|z_-|F} \ln a_{A^{z-}}$$



стандартные потенциалы

M.Pourbaix, *Atlas d'Equilibres Electrochimiques*, Gauthier-Villars, Paris, 1963

R.Parsons, *Redox Potentials in Aqueous Solutions: a Selective and Critical Source Book*, Marcel Dekker, New York, 1985;

A.J.Bard, R.Parsons, J.Jordan, *Standard Potentials in Aqueous Solution*, Marcel Dekker, New York, 1985.

Электроды сравнения

	Reference electrode	Potential versus SHE, V (aqueous systems, recommended values for 25°C)	Analogues	Media
<u>Стандартный водородный</u>				
<u>Каломельный</u>	Calomel electrodes		Mercurous bromide,	aqueous
насыщенный	saturated (SCE)	0.241(2)	iodide, iodate, acetate,	and mixed (with
нормальный	normal (NCE)	0.280(1)	oxalate electrodes	alcohols or dioxane)
децинормальный	decinormal	0.333(7)		
<u>Хлорсеребряный</u>	Silver-chloride electrode (saturated KCl)	0.197(6)	Silver cyanide, oxide, bromate, iodate, perchlorate;	aqueous, mixed, abs. alcoholic
<u>Ртутносульфатный</u>	Mercury-mercurous sulphate electrode	0.6151(5)	nitrate	aprotic
			Ag/Ag ₂ SO ₄ , Pb/Pb ₂ SO ₄	aqueous, mixed
<u>Оксиднортутный</u>	Mercury-mercuric oxide electrode	0.098		aqueous, mixed
<u>Хингидронный</u>	Quinhydrone electrode		chloranil, 1,4-naphтоquinhydrone	any with sufficient solubility of components
	0.01 M HCl	0.586(8)		
	0.1 M HCl	0.641(4)		

Диффузионный потенциал на границе двух растворов

$$\Delta\varphi_{\text{дифф}} = -\frac{RT}{F} \int_I^H \sum_i \frac{t_i}{z_i} d \ln a_i$$

M.Planck, 1890

P.Henderson 1907-1908

I

II

1-ый закон Фика

$$\frac{j_+}{c_+} = \frac{j_-}{c_-}; j_i = -D_i \text{grad} c_i - \frac{z_i}{|z_i|} u_i c_i \text{grad} \varphi; \begin{array}{l} \text{диффузия} \\ \text{миграция} \end{array}$$

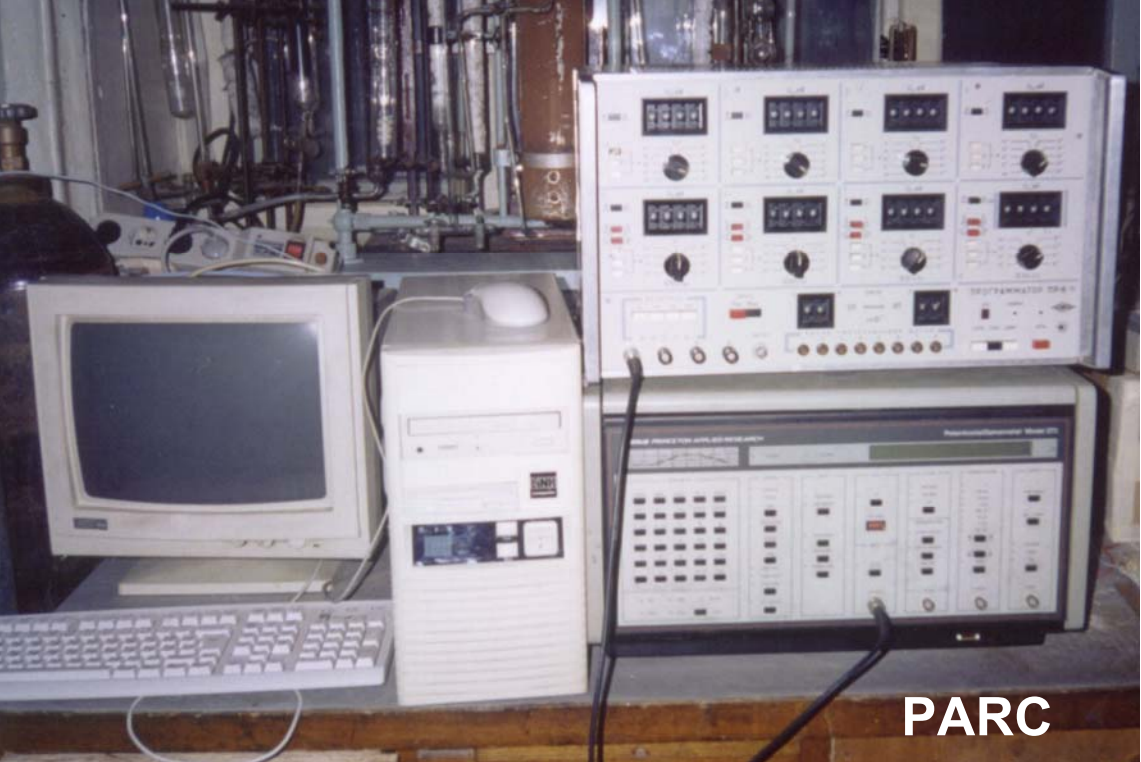
$$D_i \simeq \frac{RT}{|z_i| F} u_i$$

число переноса $\rightarrow t_i = \frac{u_i}{\sum_i u_i}$ электрическая подвижность

Уравнение Нернста-Эйнштейна

$$\Delta\varphi_{\text{дифф}} \simeq \frac{RT}{F} \frac{D_- - D_+}{z_+ D_+ + |z_-| D_-} \ln \frac{c_{II}}{c_I} = - \frac{RT}{F} \left(\frac{t_-}{z_-} + \frac{t_+}{z_+} \right) \ln \frac{c_{II}}{c_I}$$

Элиминирование диффузионного потенциала: солевой мостик с электролитом, для которого $t_i \sim 0.5$



Характерные размеры фрагментов и элементов электрохимических систем

Elements	Size intervals /m	Components
Electrodes for practical applications for research	$0.1 - 10$ $10^{-3} - 10^{-2}$	metals, semiconductors, composition materials
microelectrodes	$10^{-5} - 10^{-4}$	
ultramicroelectrodes	$10^{-8} - 10^{-6}$	
thin-film electrodes	$< 10^{-8}$	
Electrolyte layers		solutions, melts,
electrolysers	$0.1 - 10$	solid electrolytes
research cells	$10^{-3} - 0.1$	
thin-layer cells	$10^{-6} - 10^{-5}$	
microcells	$10^{-7} - 10^{-6}$	
Membranes	$10^{-7} - 10^{-2}$	polymers, porous inorganic materials
Diffusion layers	$10^{-6} - 10^{-4}$	all electrolyte components
Chemisorption layers	$10^{-10} - 10^{-9}$	the same
'Electronic tails' and near-surface layers in semiconductors	$< 10^{-11}$	electrons and other charge carriers

Пересыщение → Образование зародыша (nucleus)



Активные центры

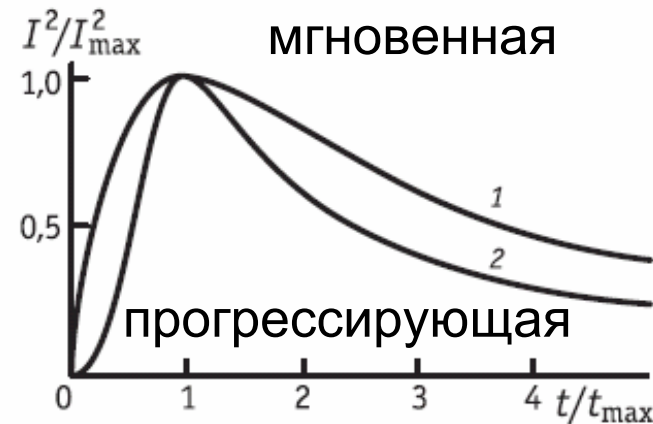
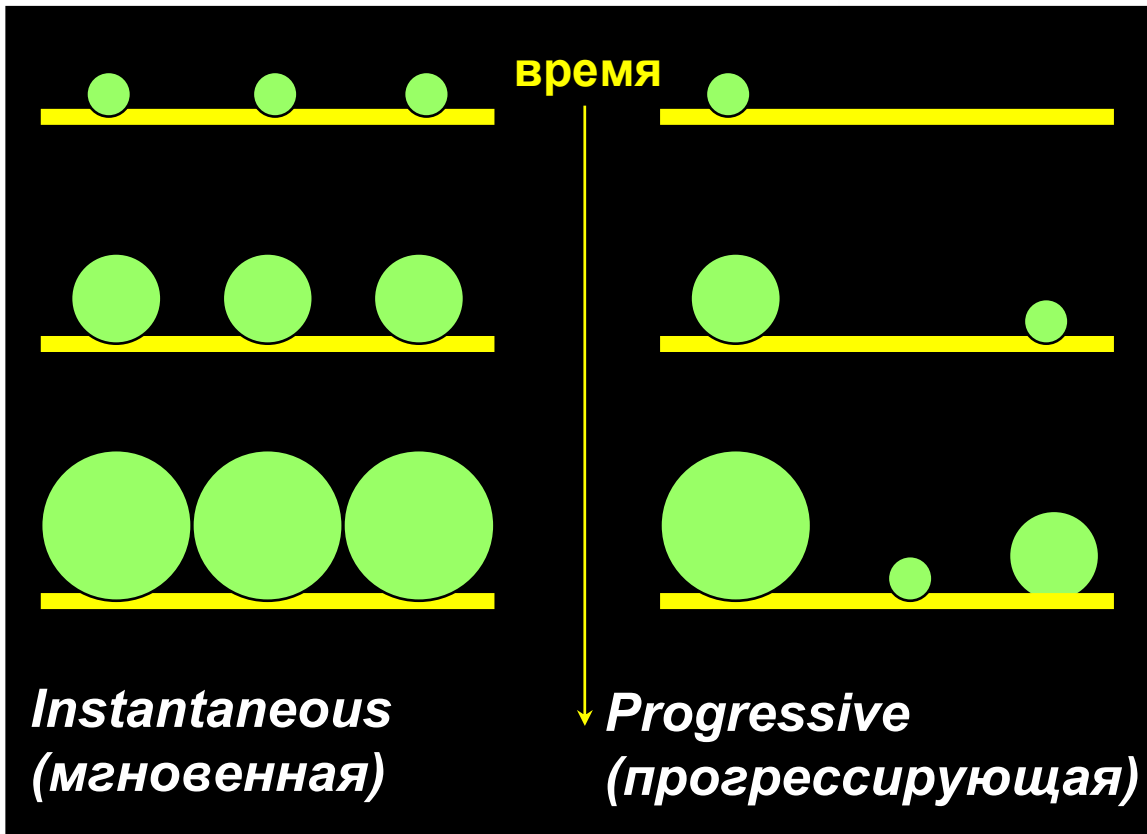
$$N = N_0 [1 - \exp(-At)] \longrightarrow I = nFkS(t),$$



Перекрывание



$$I = \text{const} \cdot t^n \exp(-\text{const}' \cdot t^m)$$



Зависимость от потенциала E



**Замедлена стадия
переноса электрона**

**Замедлена стадия
подвода реагента**

$$E = a + b \log i$$

$$i = i_{dif}(c_{local})$$

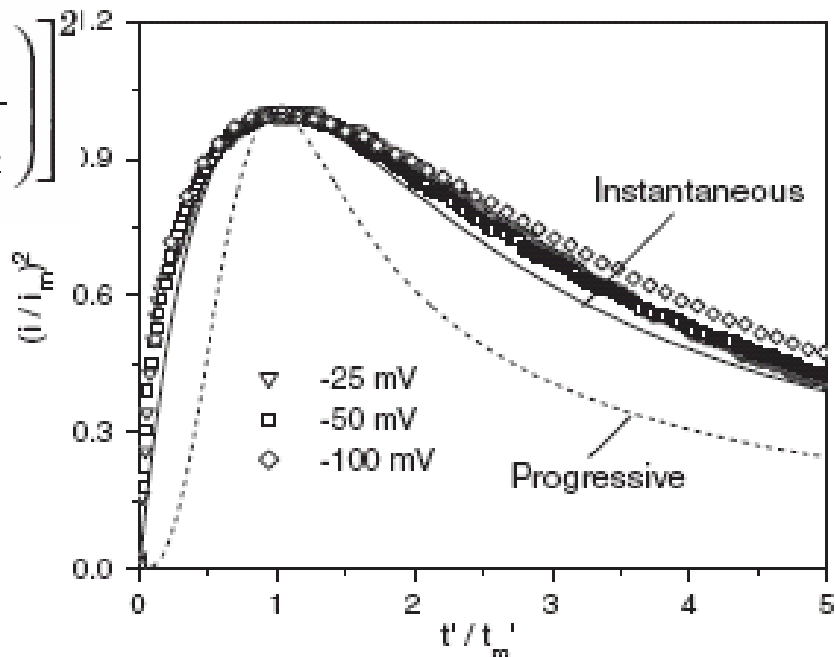
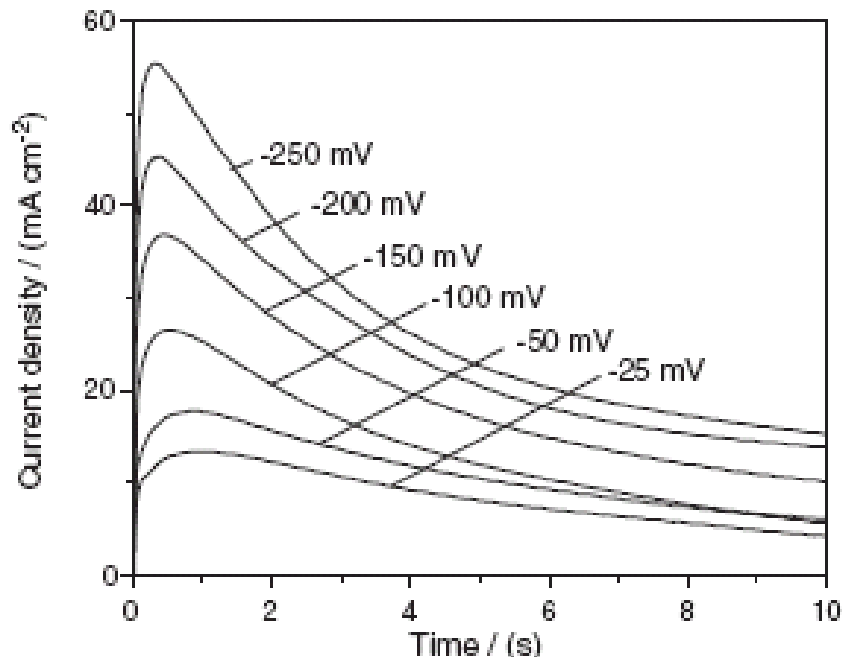
Скорость процесса
(плотность тока)

$$i = I/S$$

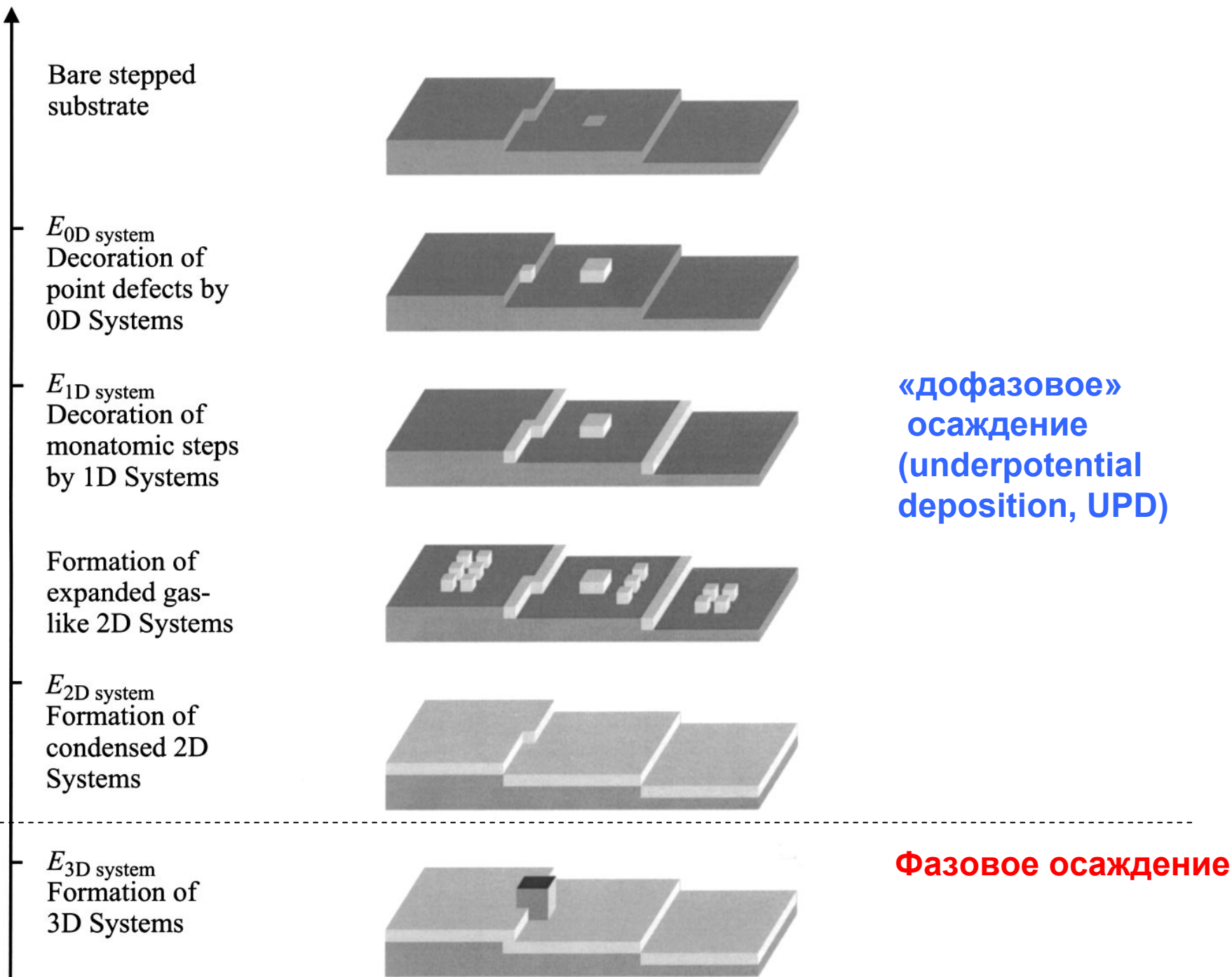
$$\left(\frac{I}{I_{\max}} \right)^2 = 1,9542 \frac{t_{\max}}{t} \cdot \left[1 - \exp \left(-1,2564 \frac{t}{t_{\max}} \right) \right]^{2/2}$$

Вид приведенного транзиента
зависит от

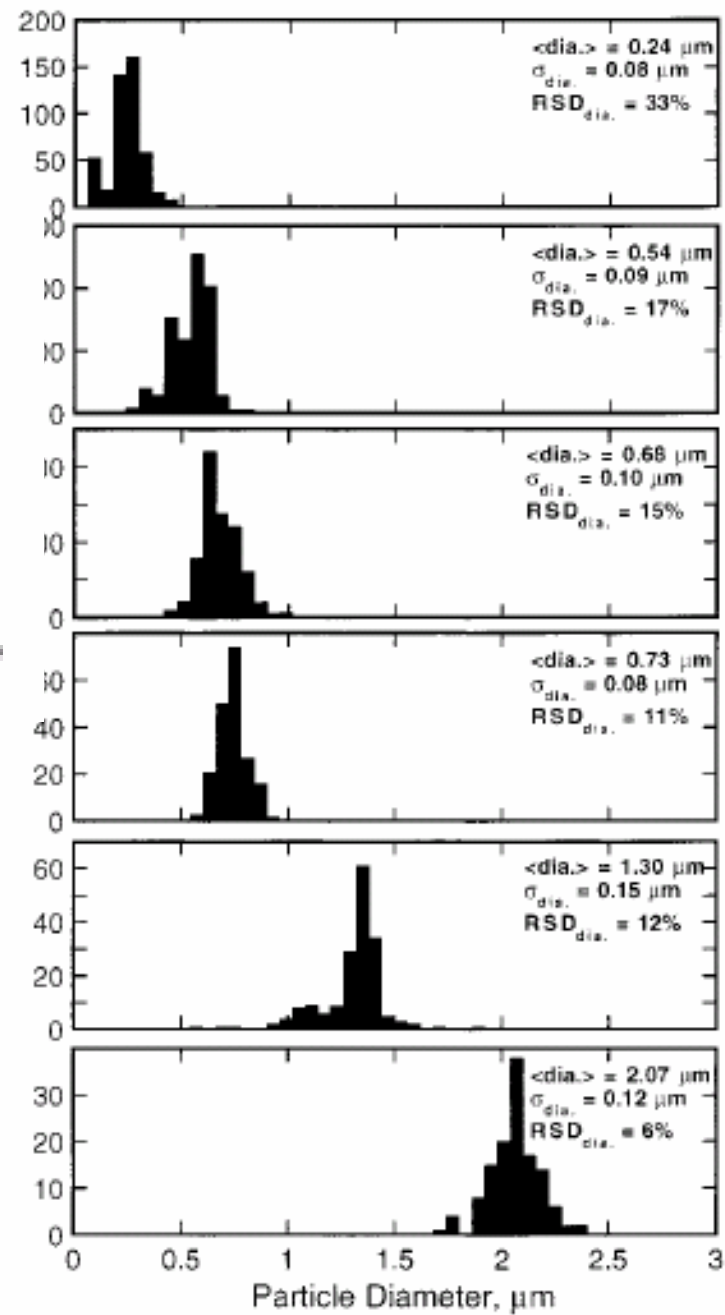
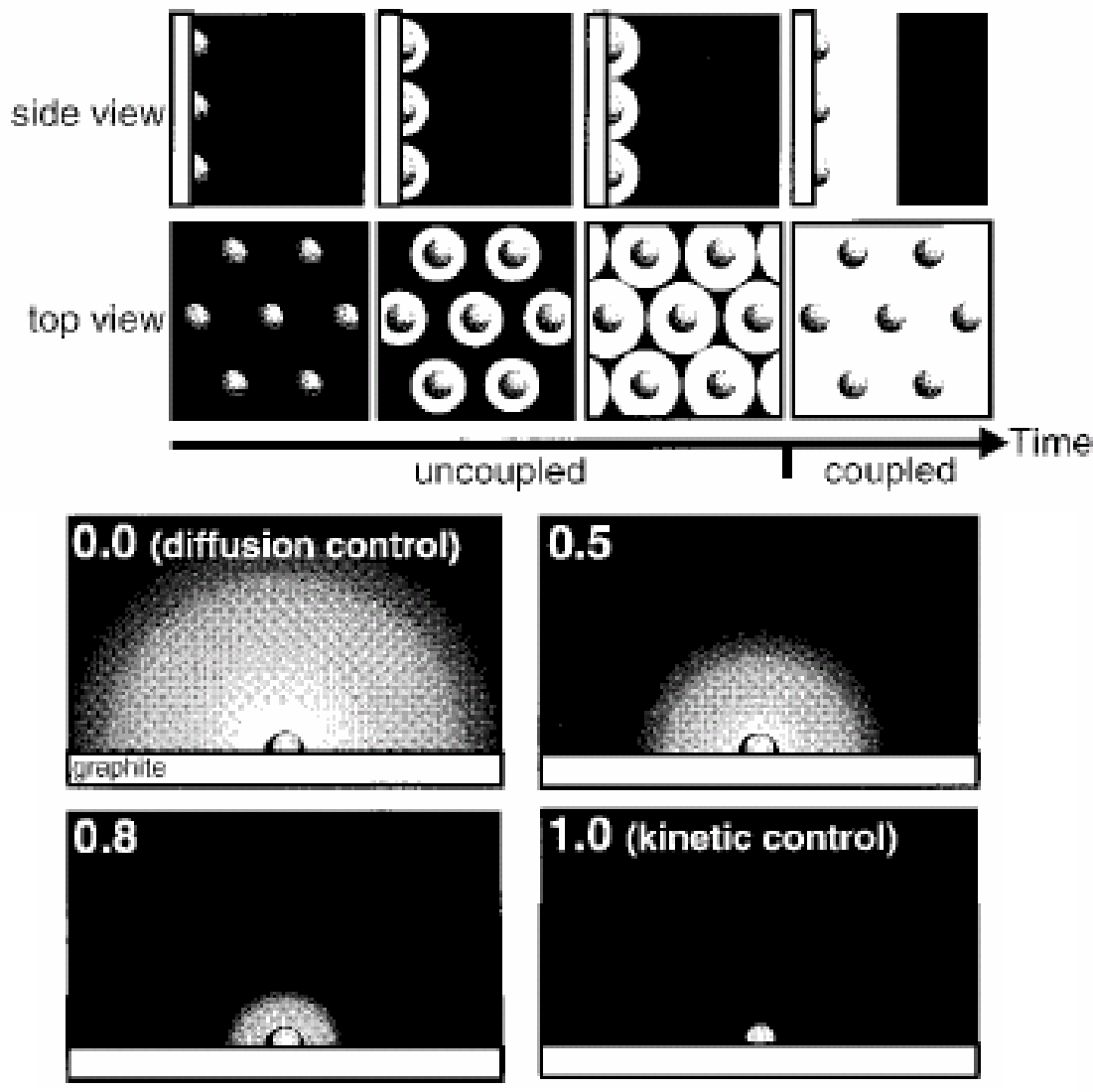
- природы медленной стадии
- геометрии зародыша
- геометрии роста

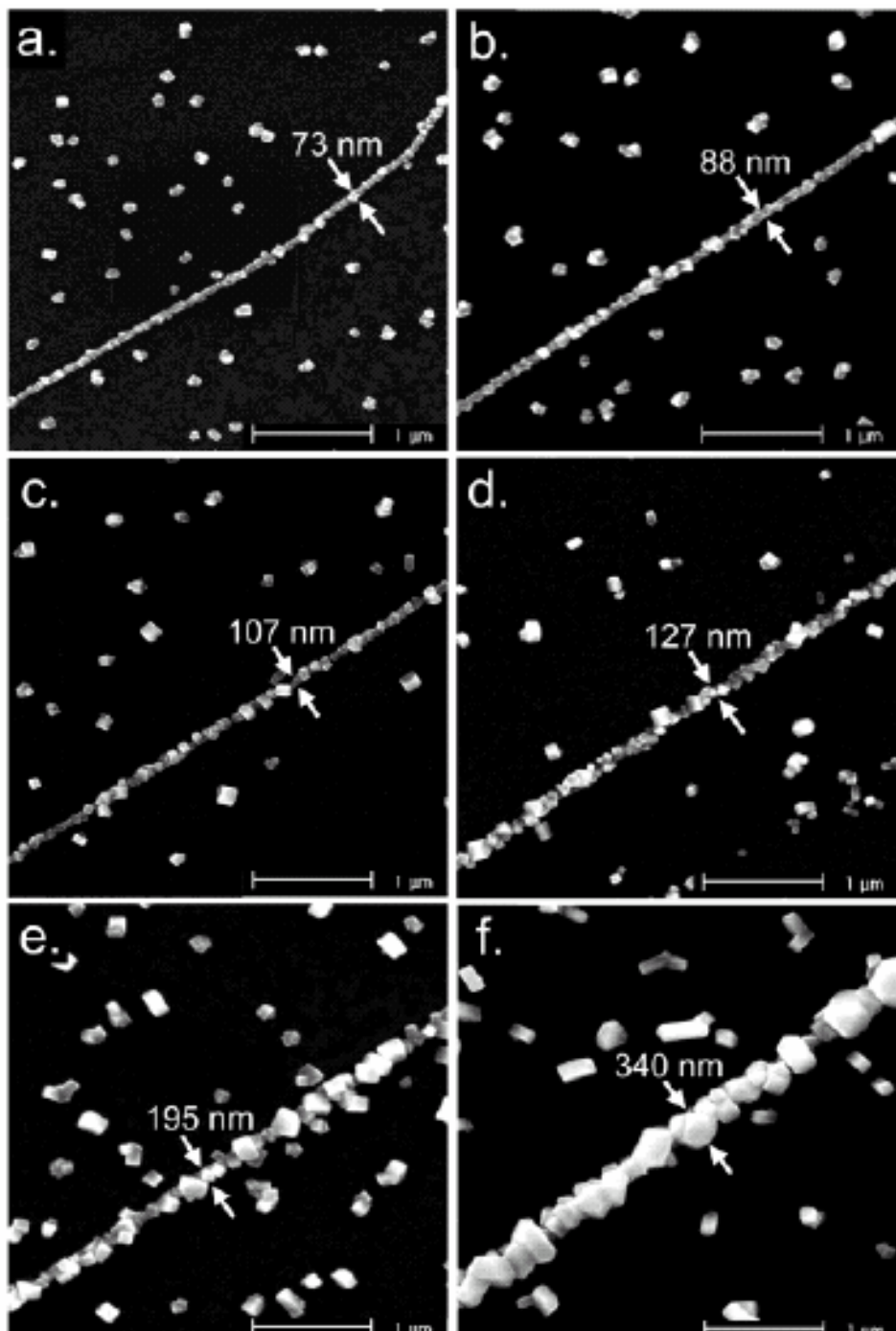


Electrode Potential E

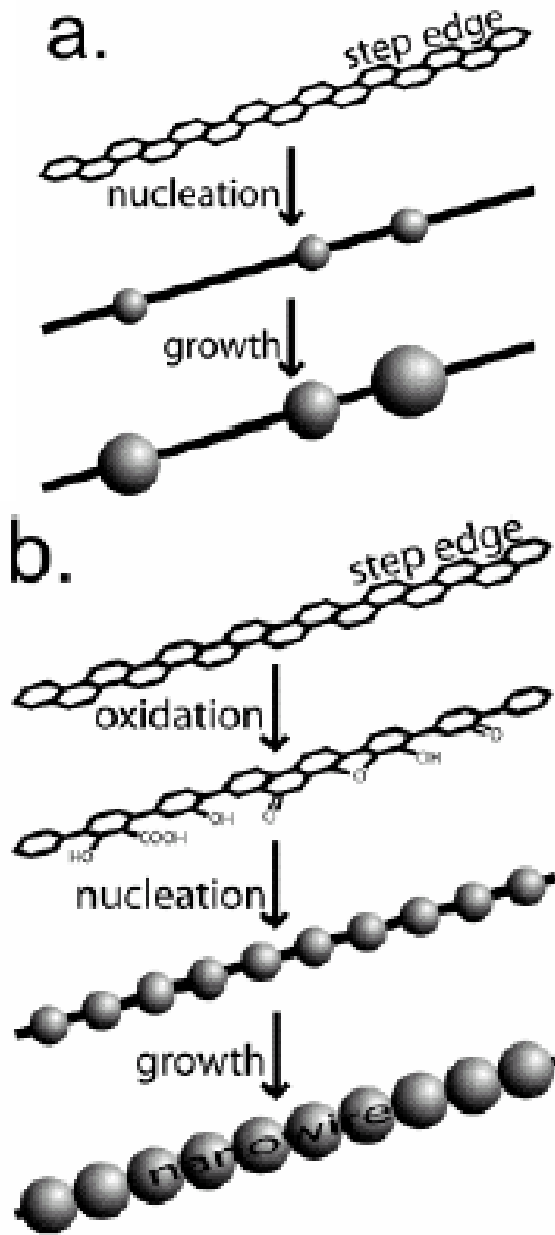


Контроль размера частиц

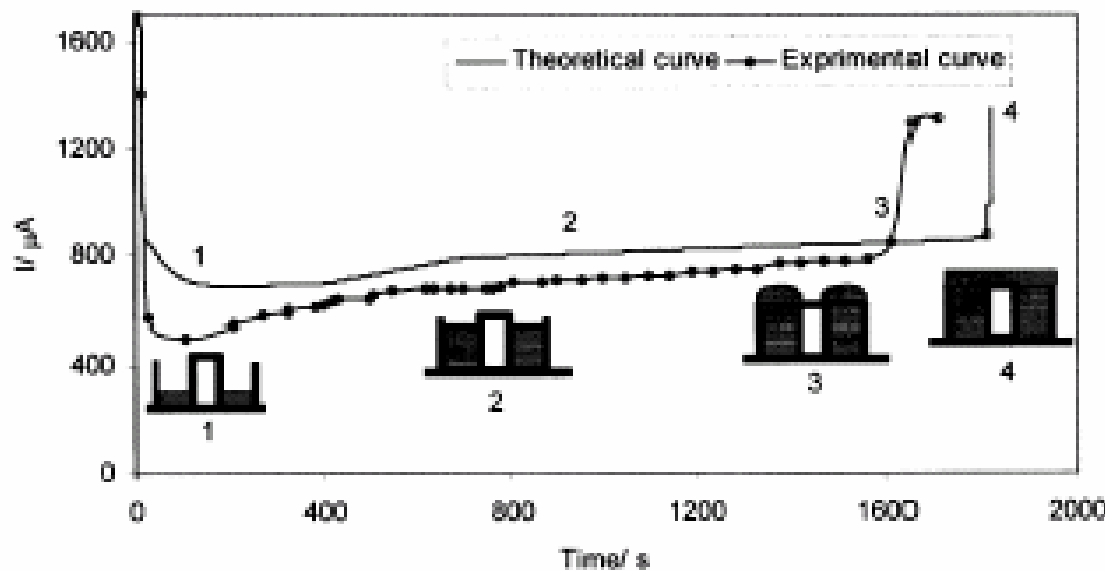
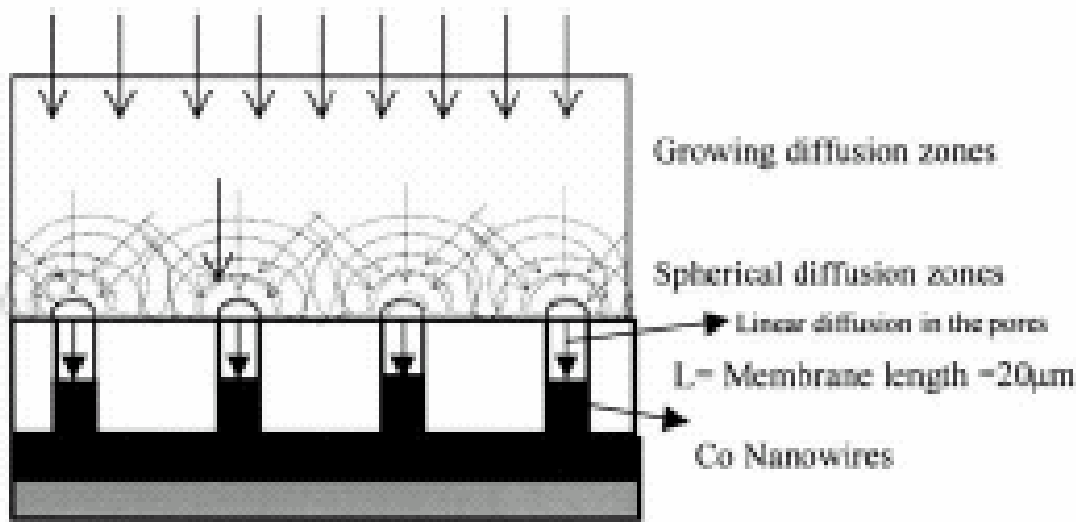




«Step decoration»

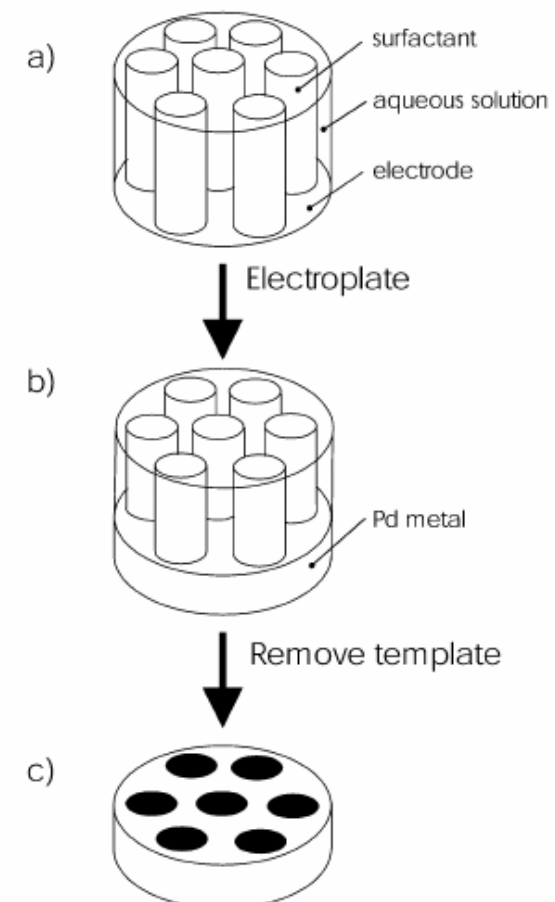


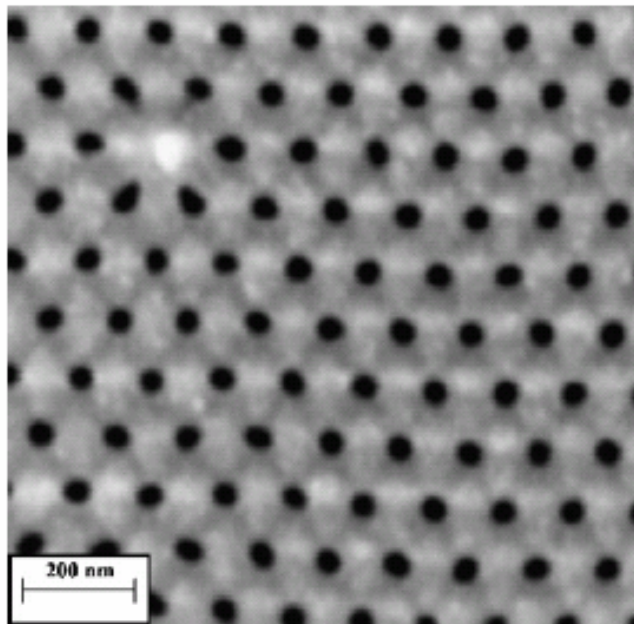
Темплейтное осаждение



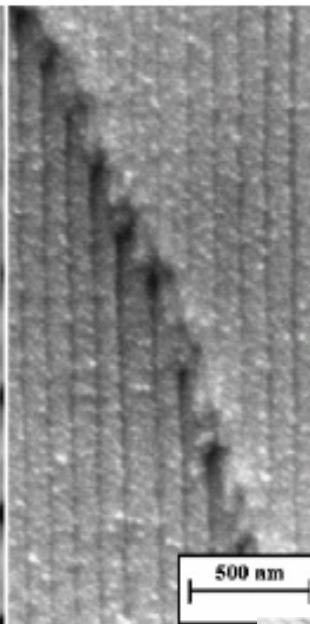
Матрицы:

- твердые неорганические
- полимерные
- жидкие кристаллы





200 nm

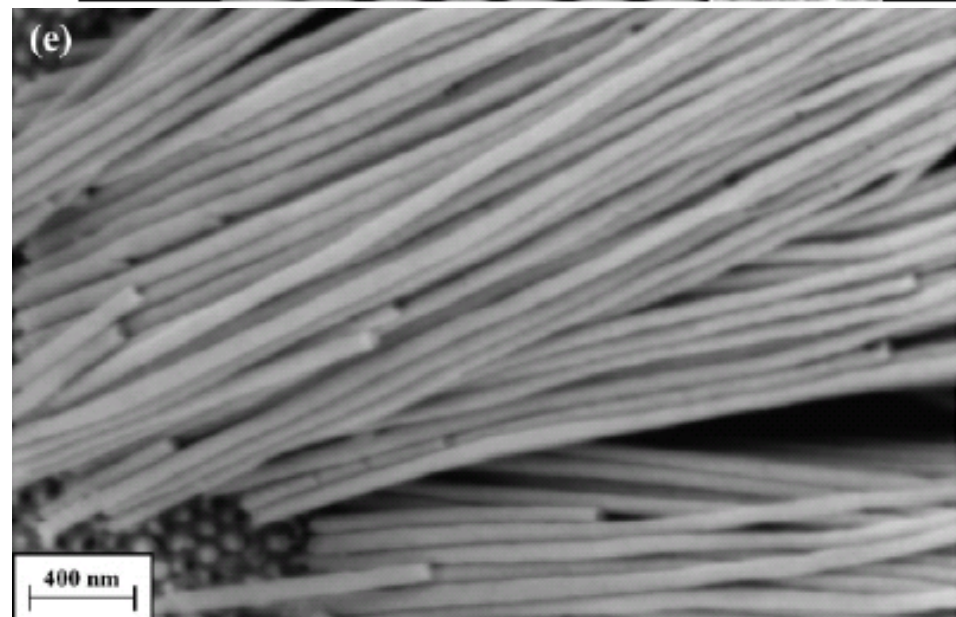


500 nm

«Анодный» оксид алюминия

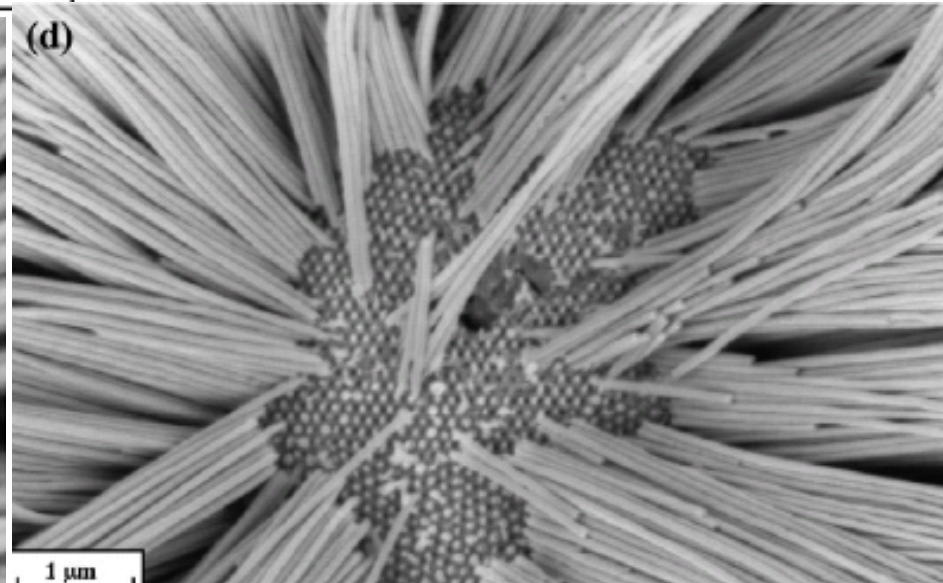
Поры 15 – 150 нм

Толщины – до 100 -200 мкм



(e)

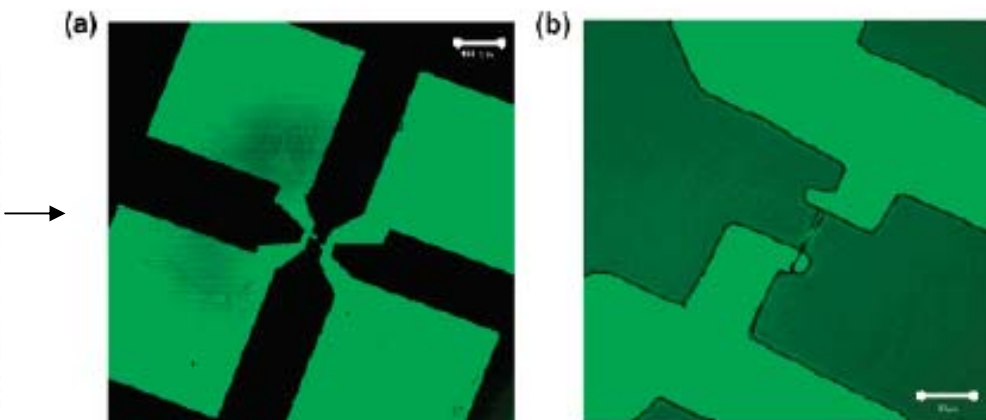
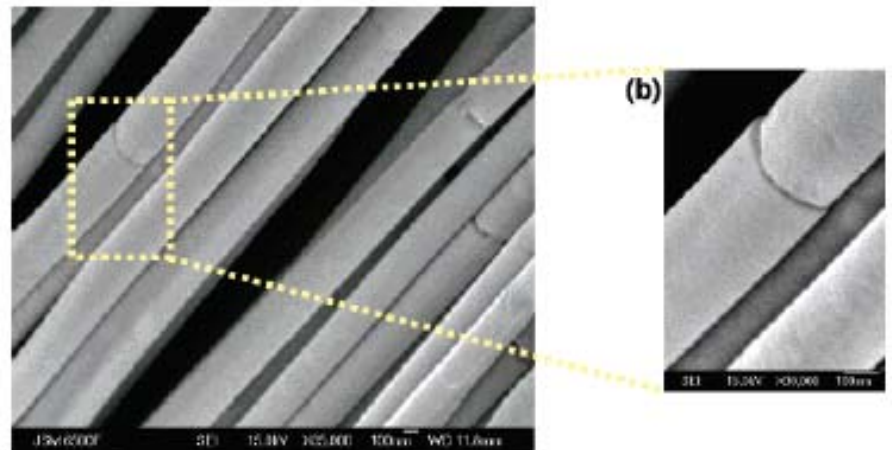
400 nm



(d)

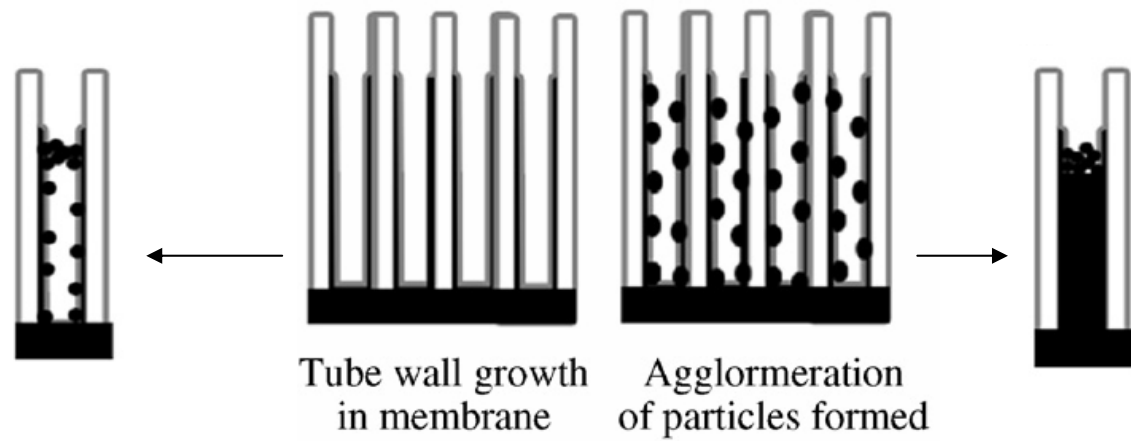
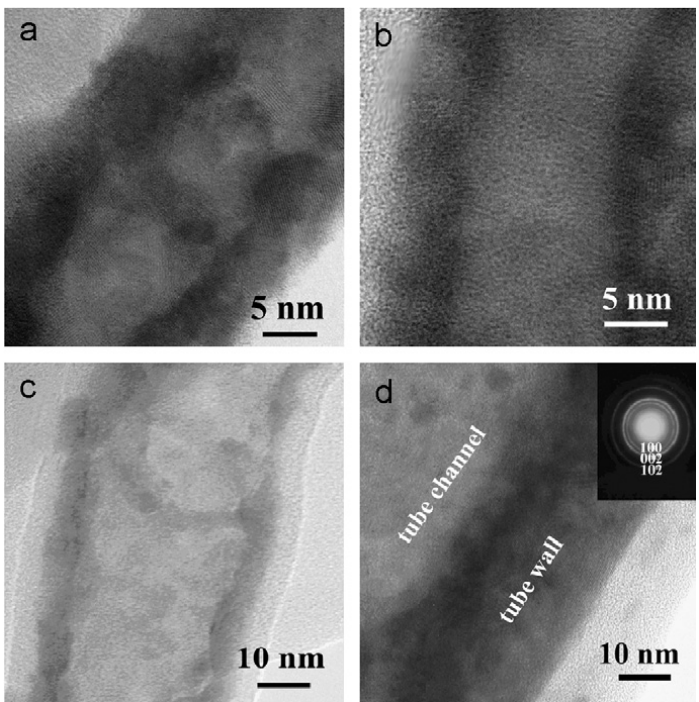
1 μm

Золото в оксидно-алюминиевых матрицах

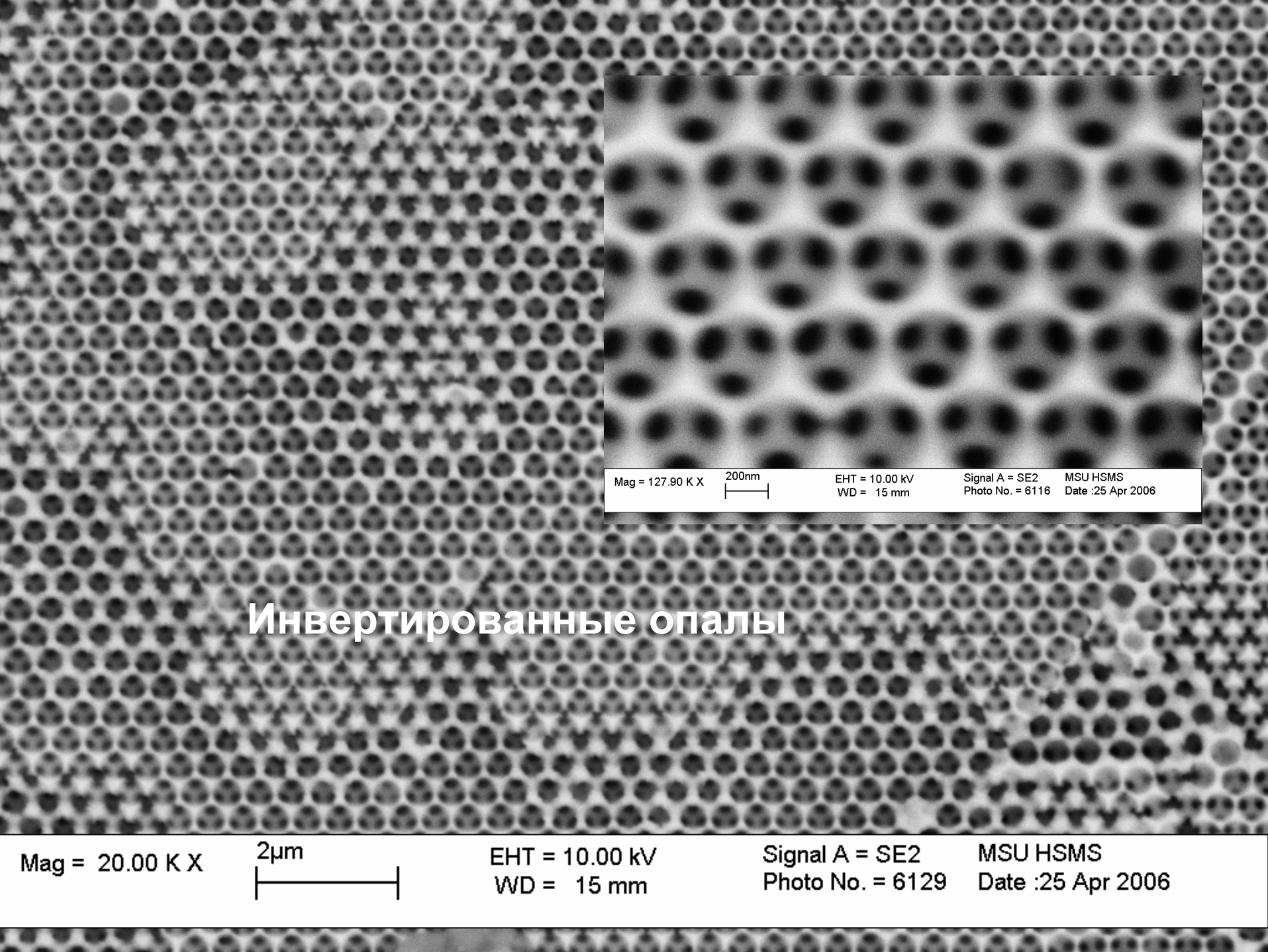


Anal. Chem. 78 (2006) 951

CdS в трековых мембрнах



J. Crystal Growth 310 (2008) 612



Инвертированные опалы

Mag = 20.00 K X

2μm



EHT = 10.00 kV

WD = 15 mm

Signal A = SE2

Photo No. = 6129

MSU HSMS

Date :25 Apr 2006

Mag = 127.90 K X

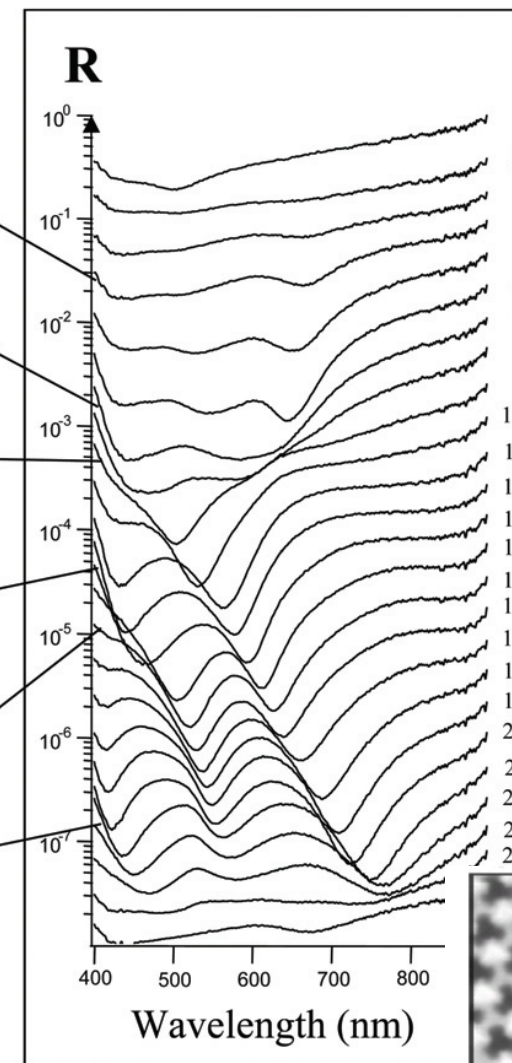
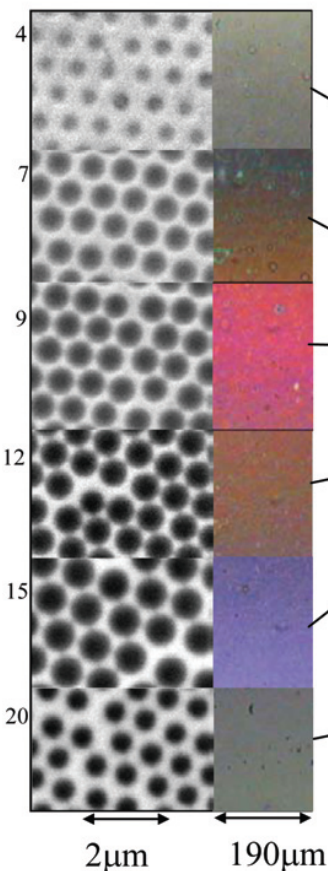
200nm



EHT = 10.00 kV
WD = 15 mm

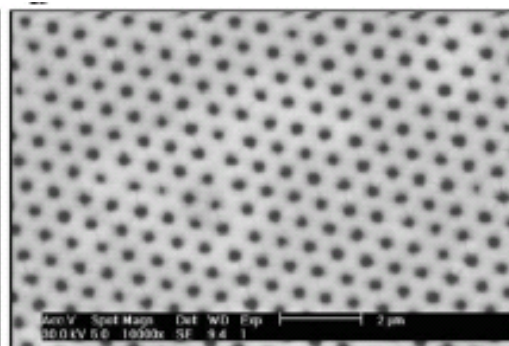
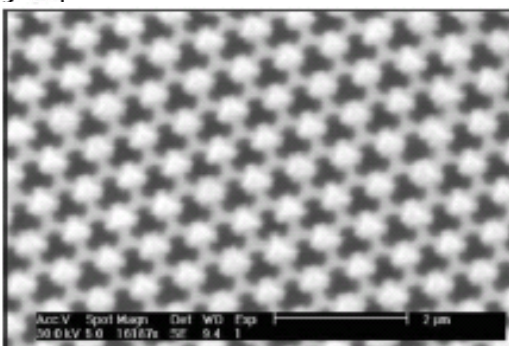
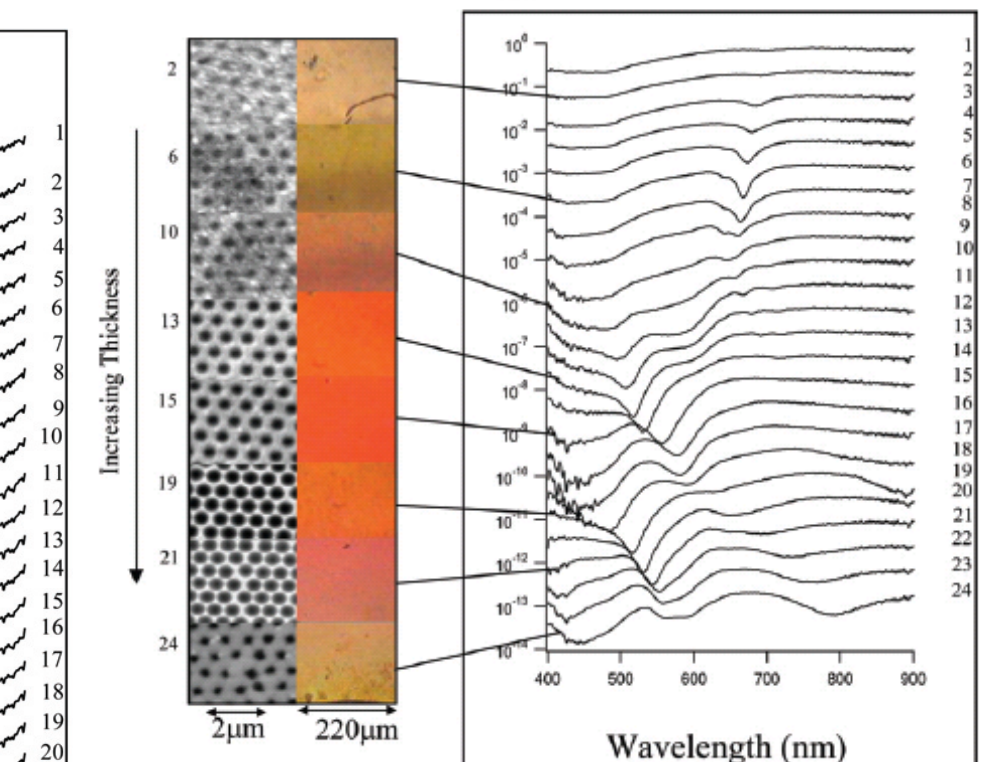
Signal A = SE2
Photo No. = 6116
MSU HSMS
Date :25 Apr 2006

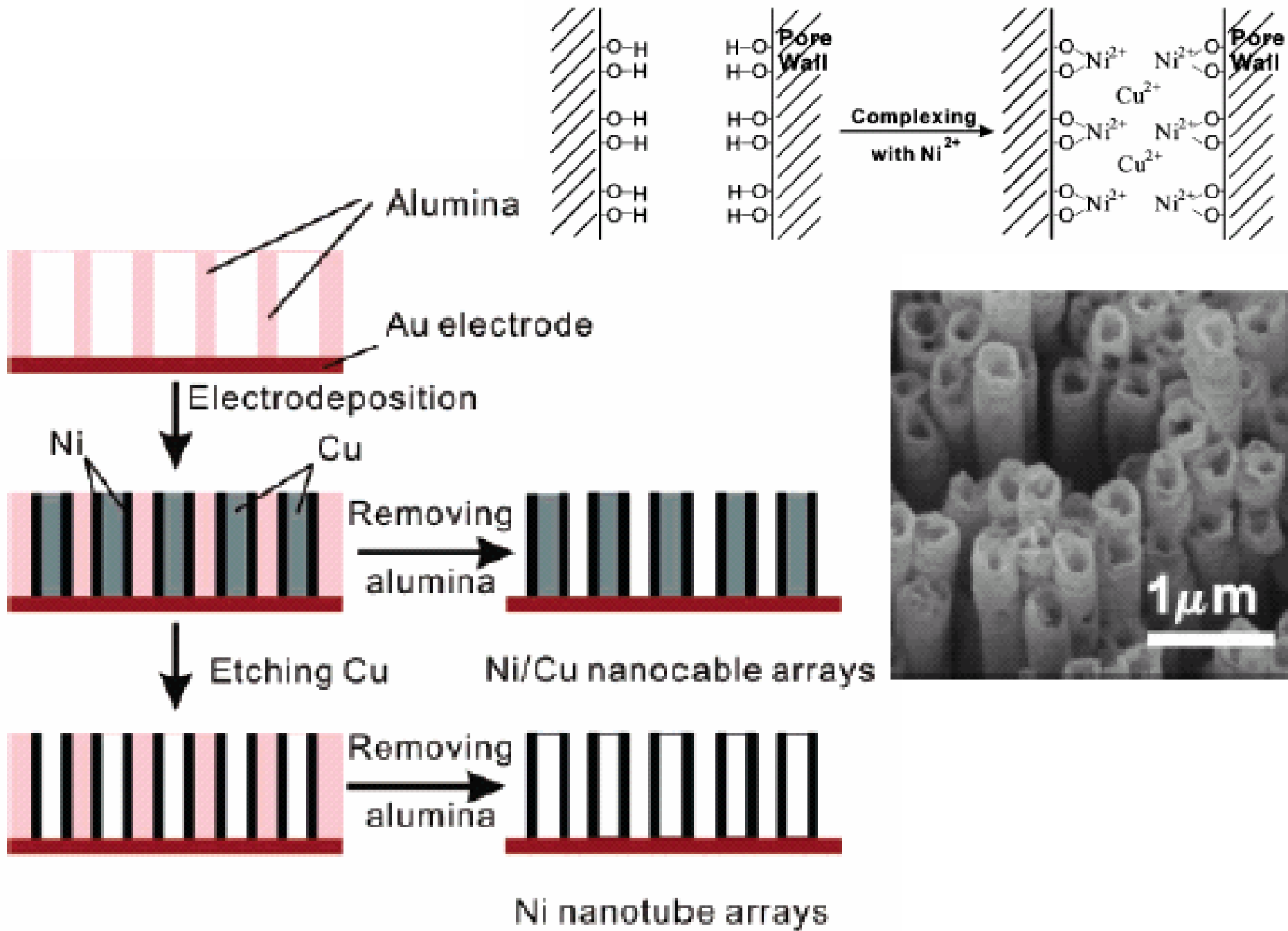
Platinum



Gold

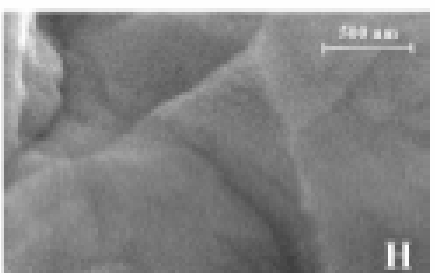
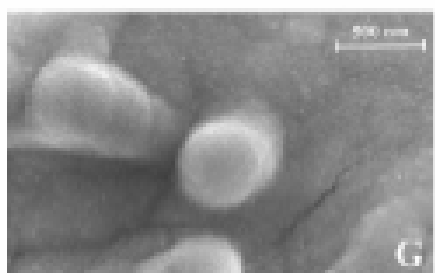
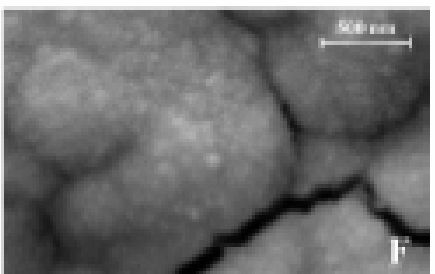
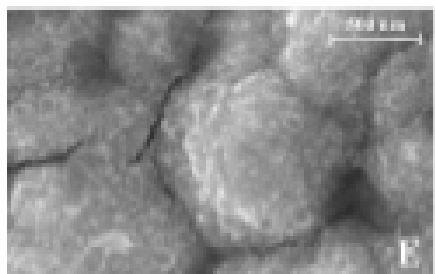
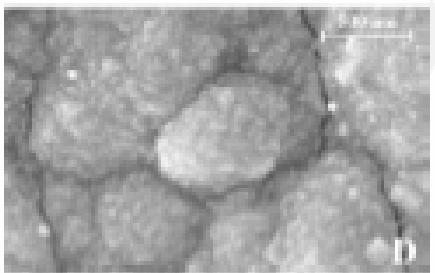
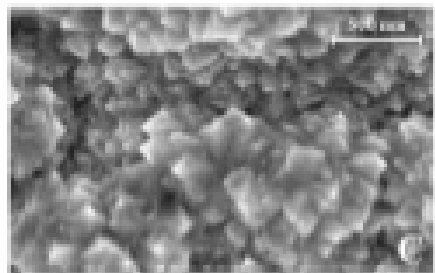
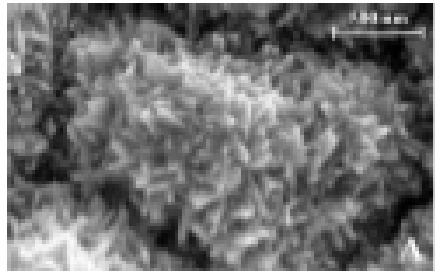
R



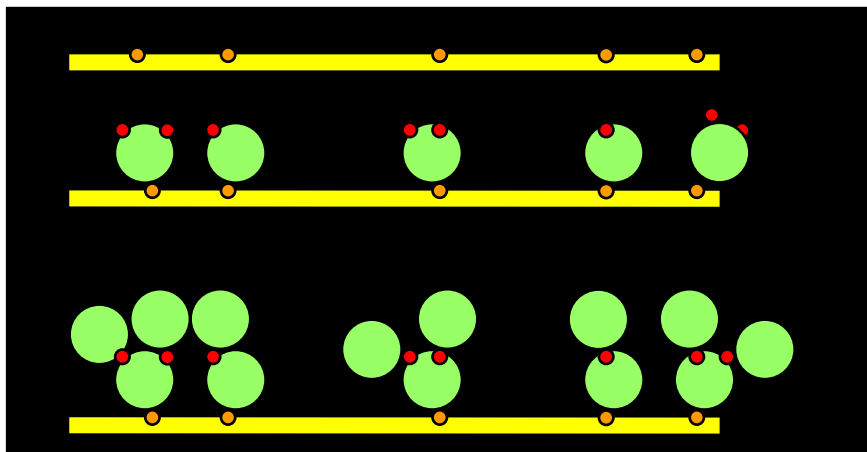
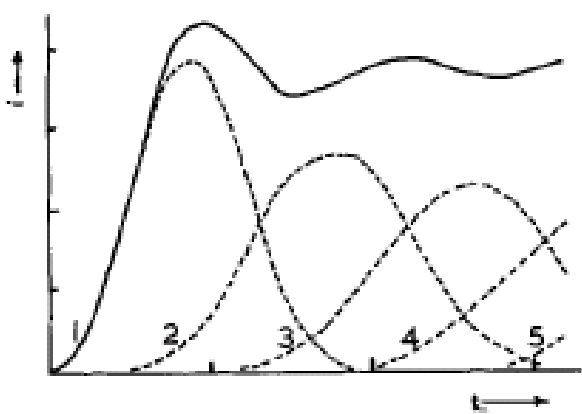
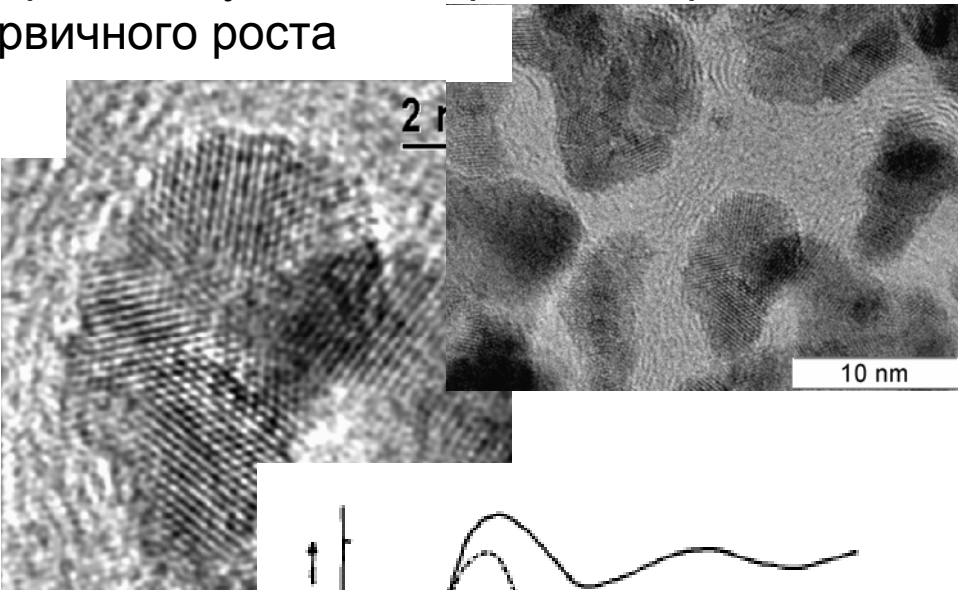


Электродиспергирование

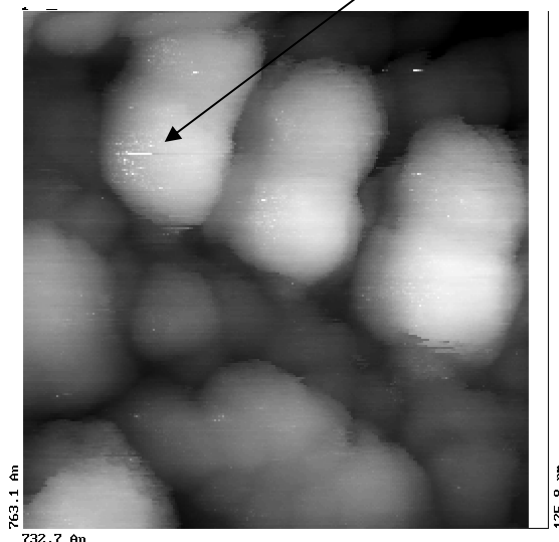
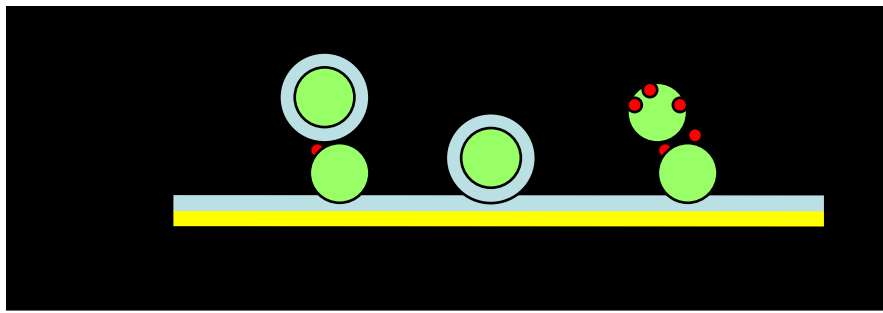
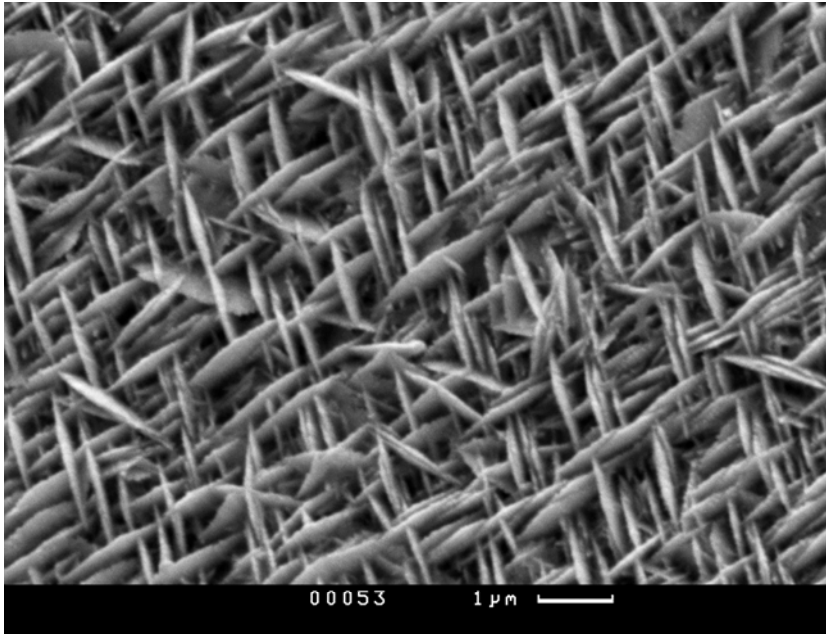
E



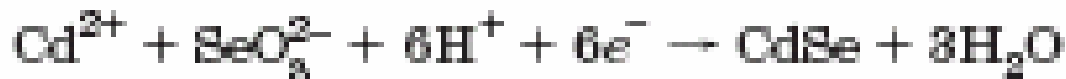
Вторичная нуклеация при ингибировании первичного роста



Квазитетмплатирование: палладий - полиэтиленгликоль



Осаждение бинарных и многокомпонентных фаз

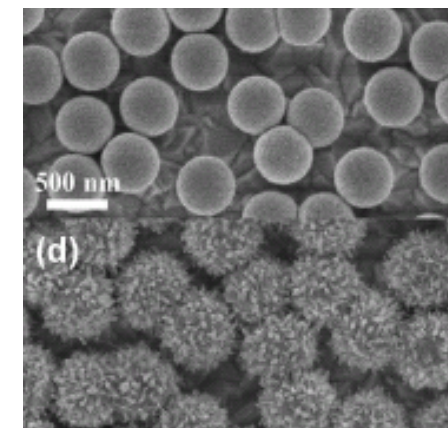
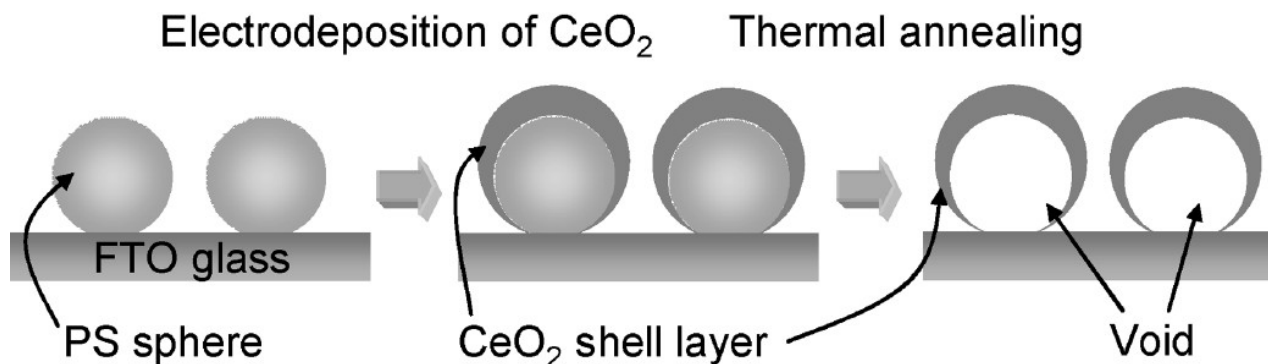


Катодная
электрокристаллизация



Анодная электо-
кристиализация

Различие растворимостей окисленной и восстановленной форм



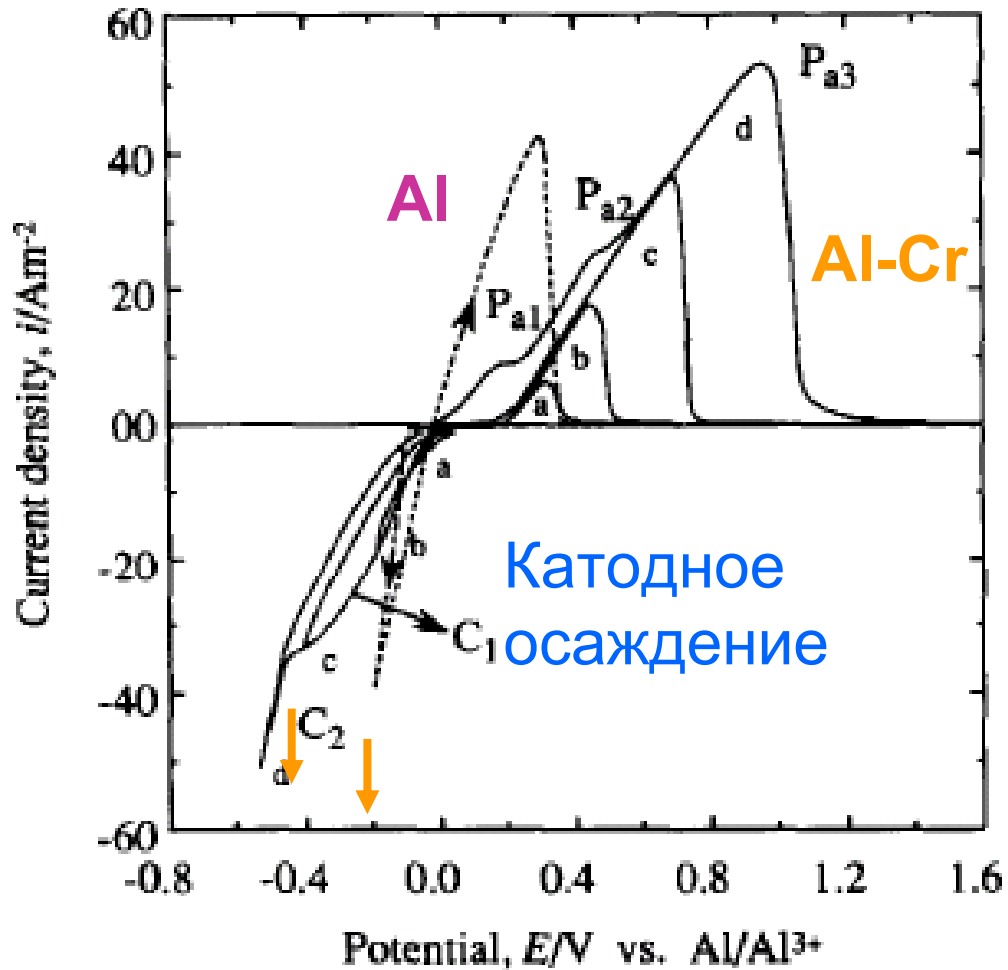


Fig. 1. Cyclic voltammogram recorded at a Pt electrode in 2:1 AlCl_3 -BPC melt: (—) melt containing $0.31 \text{ mol dm}^{-3} \text{ CrCl}_3$; (---) melt without CrCl_3 . Switching potential (a) -0.09 , (b) -0.18 , (c) -0.35 , and (d) -0.50 V ; sweep rate, 10 mV s^{-1} .

Осаждение бинарных фаз - «диагностика»:

- разделение катодных волн
- появление новых анодных пиков

«Инструменты»:

- ан/кат пределы потенциала
- скорость развертки

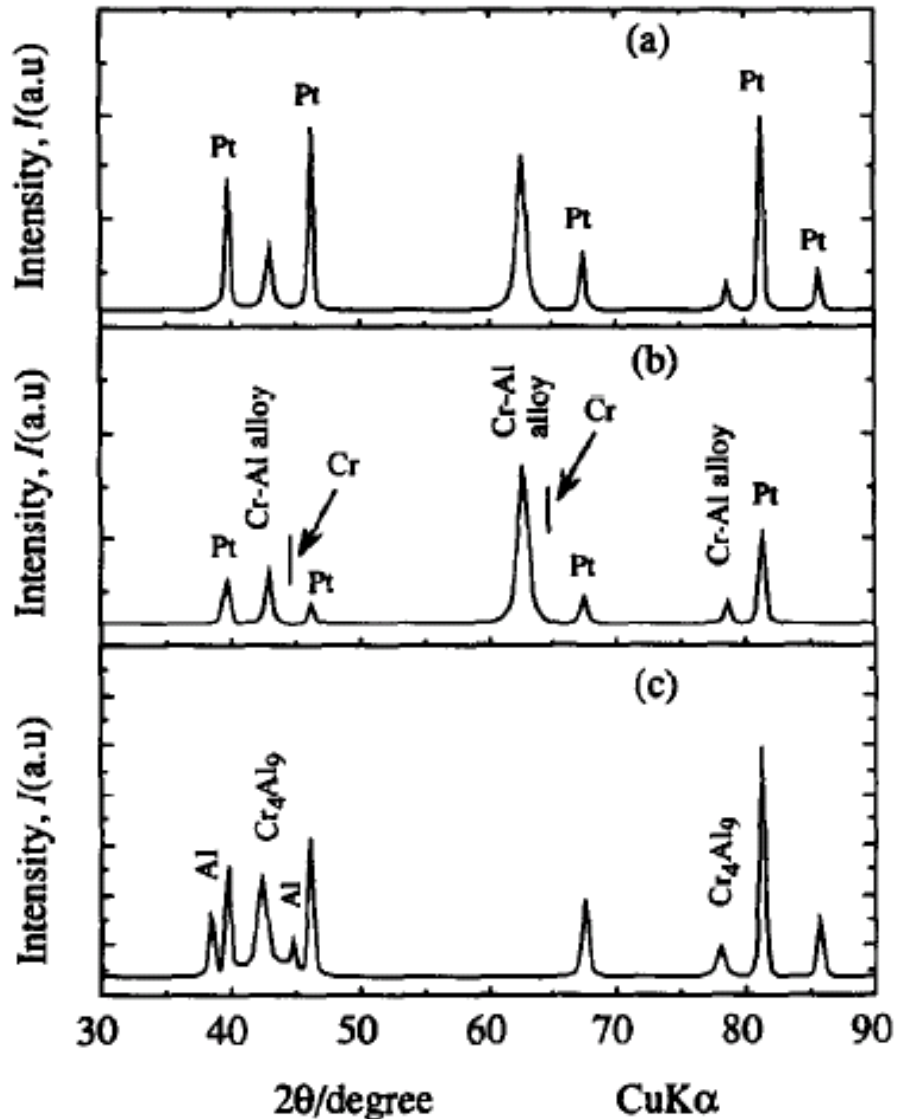


Fig. 4. X-ray diffraction patterns of the electrodeposited Al–Cr alloy. Deposition applied potential (a) -0.20 , (b) -0.26 and (c) -0.42 V; atomic ratio of Cr and Al in deposits (a) 63:37, (b) 55:45, and (c) 24:76; duration of deposit, 8 h.

Препаративный эксперимент (потенциостатическое осаждение + XRD)

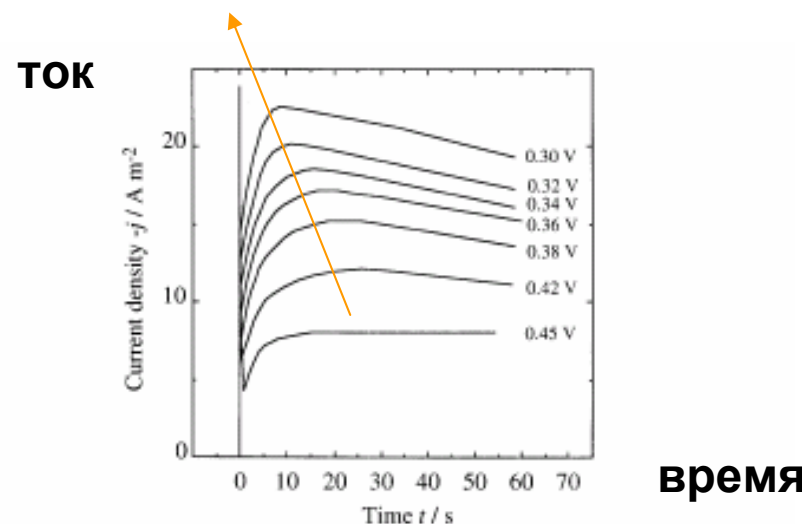


Fig. 3. Potentiostatic current–time transients for the deposition of pure nickel from 2:1 AlCl_3 –BPC melt saturated with NiCl_2 at different applied potentials.

Препаративный эксперимент (потенциостатический и гальванический)

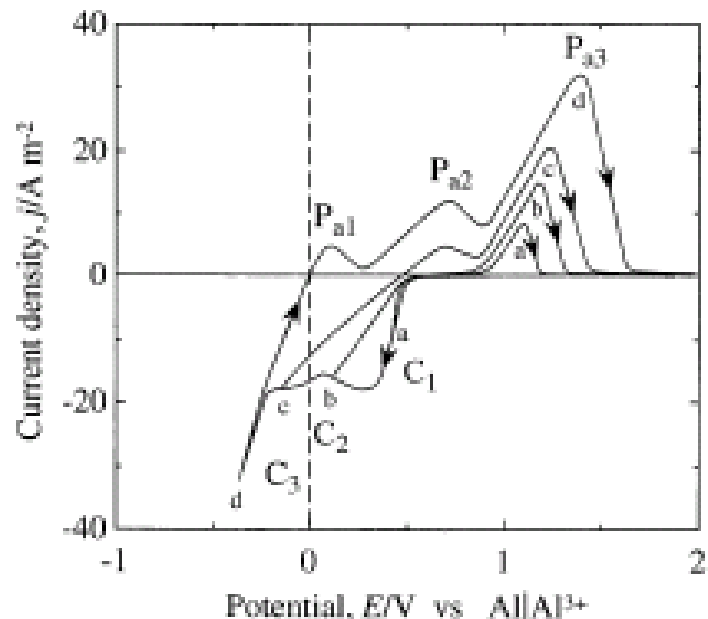
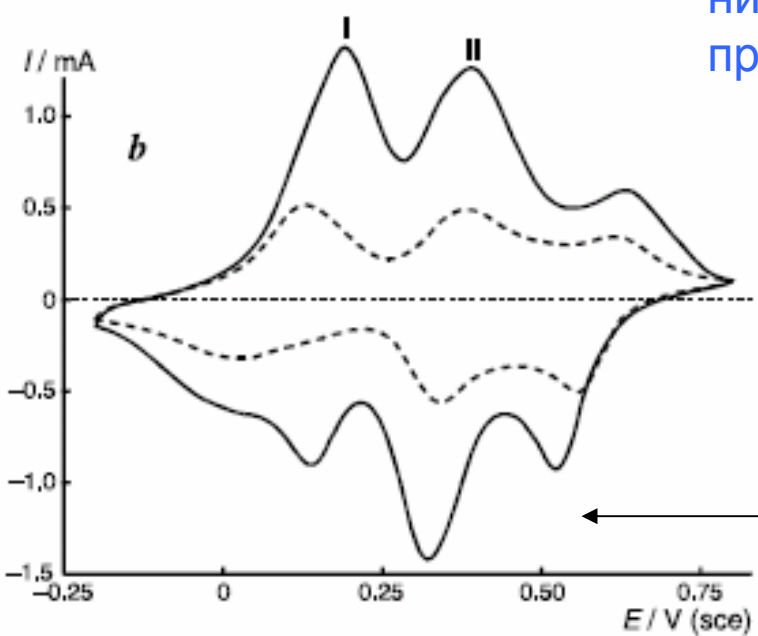
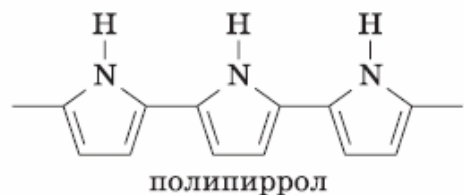
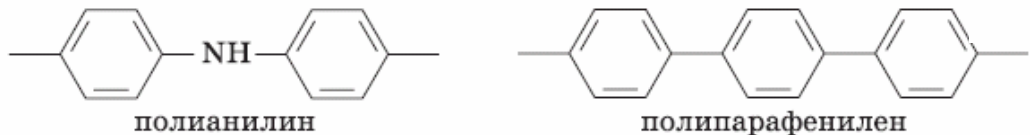


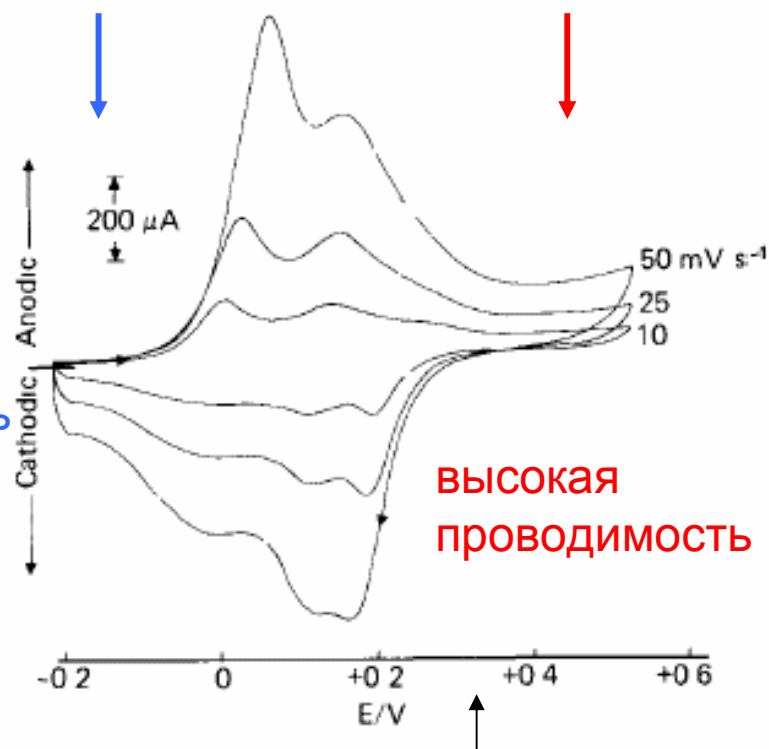
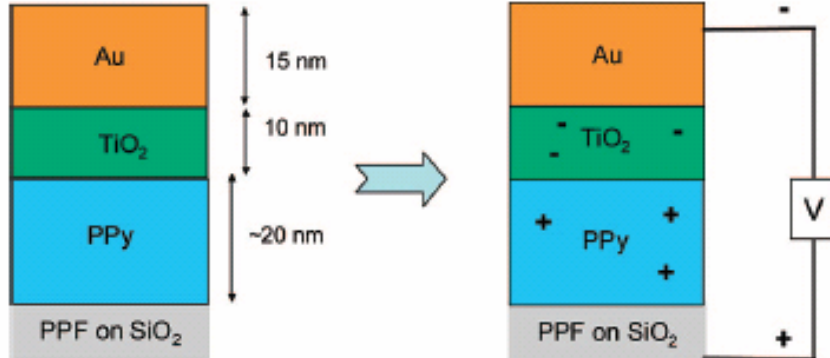
Table 1
Deposition conditions and X-ray diffraction results of the electrodeposited Al-Ni alloy in controlled-current and controlled-potential plating

Run no.	Deposition conditions	XRD results of the deposited layer	
		Deposition current density, $j/\text{A m}^{-2}$	Deposition potential E/V vs. $\text{Al} \text{Al}^{3+}$
1	-5		Ni
2	-10		Ni
3	-13		Ni
4	-20		Ni, Ni_3Al , Al
5	-25		Ni, Ni_3Al , Al
6	-35		Ni, NiAl, Al
7		0.30	Ni
8		0.20	Ni
9		-0.20	Ni, Ni_3Al , Al
10		-0.35	Ni, Ni_3Al , NiAl, Al
11		-0.50	Ni, NiAl, Al

Осаждение полимеров (анодное)

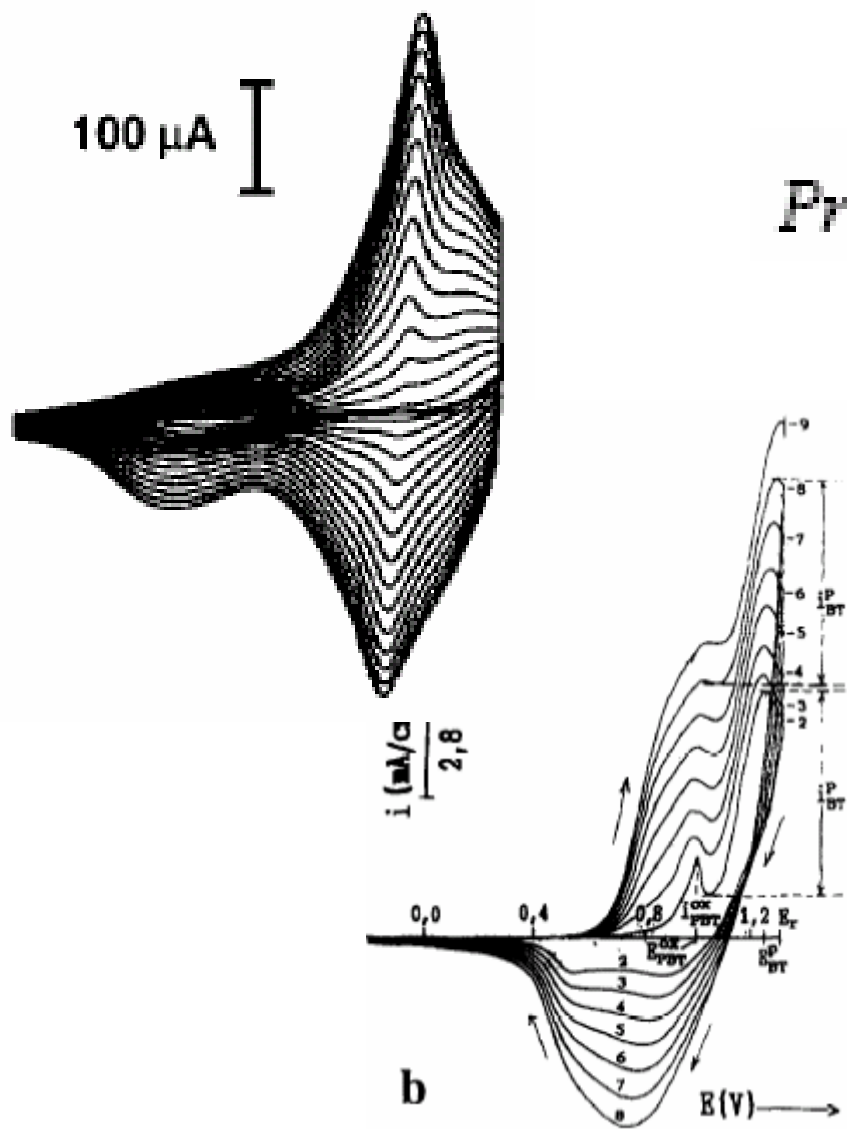


низкая проводимость



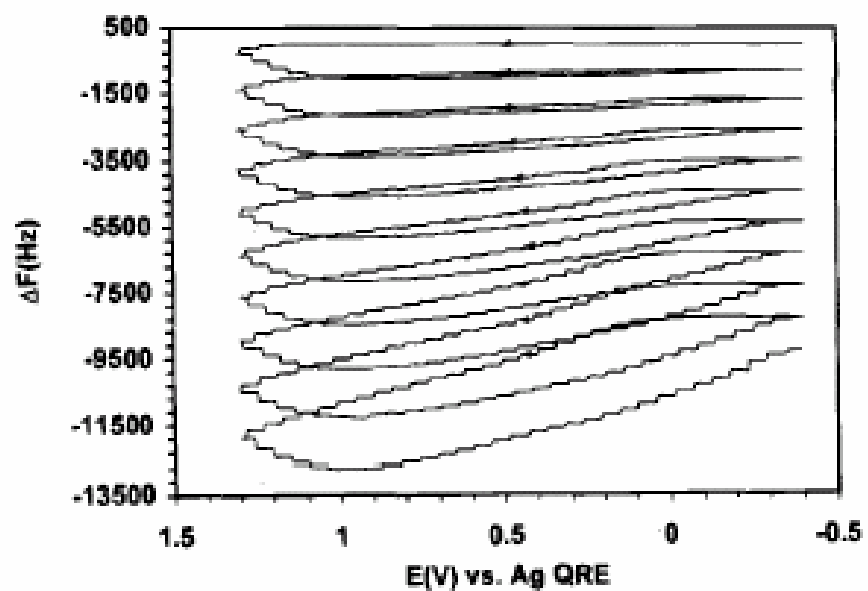
перезаряджение
полимеров и олигомеров

Рост перезаряжаемых пленок в режиме циклической вольтамперометрии: полимеры; берлинские лазури



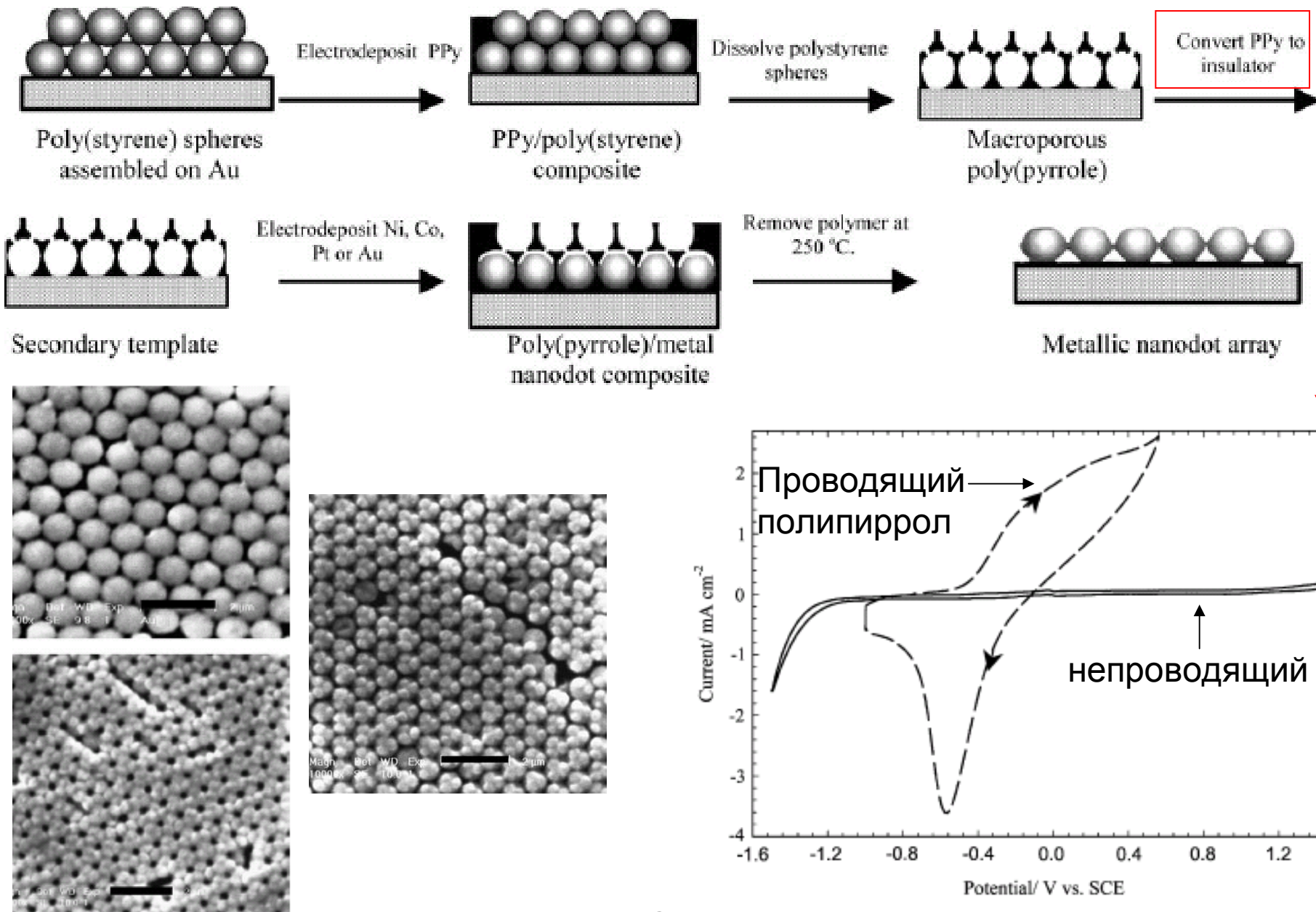
Prussian blue $Fe^{III}_4[Fe^{II}(CN)_6]_3$

(Ni, Co, Cr, Mn, In ...)



EQCM – Electrochemical
quartz crystal microbalance

Инвертирование матрицы





<http://www.galvanicworld.com/consultforum/>

«Покрытия металлические и неметаллические
неорганические. Операции технологических
процессов получения покрытий»

ГОСТ 9.305 - 84